

MODELOWANIE OBRAZÓW METODAMI ANALIZY FUNKCJONALNEJ (WIELU SKAL)

Materiały KWOD, A.Przelaskowski

- Analiza funkcjonalna i harmoniczna
 - Falki
 - Dekompozycja falkowa
 - Falki 2W
-

Podsumowanie

- Wprowadzenie: technika, rys historyczny
 - Cyfrowa radiologia, doskonalenie technik obrazowania, integracja środowiska wspomaganie
 - Ograniczenia diagnostyki obrazowej – poziom i przyczyny błędów
 - Przegląd metod przetwarzania i analizy obrazów
 - Koncepcja CAD vs ACD – podstawowe idee wspomaganie
 - Rozumienie i interpretacja obrazów
 - Przykłady CAD (rak płuc, rak sutka)
 - Problem indeksowania (CAD-CBIR)
 - Modele obrazów
 - Funkcjonalna analiza obrazów
-

Analiza funkcjonalna

- Cechy obrazów: skalowalność w ‘rosnącej dziedzinie’, co prowadzi do koncepcji uciąglenia sygnałów
 - Funkcja opisem informacji: dobieramy funkcje przybliżające z sieci aproksymacji danego rozwiązania (możliwie małolicznej względem błędu aproksymacji)
 - Teoria: analiza funkcjonalna (harmoniczna) i teoria aproksymacji
 - Praktyka: hierarchiczne bazy wielu skal opisujące zarazem właściwości lokalne i globalne, przestrzenne i częstotliwościowe obrazów
-

Interpolacja oraz aproksymacja 'istoty' sygnału

- Sygnały o skończonej energii

ciągły $\longrightarrow s(t) \in \mathbf{L}^2(\mathbf{R})$, czyli $\int_{-\infty}^{+\infty} |s(t)|^2 dt < +\infty$

dyskretny $\longrightarrow s \in \mathbf{l}^2(\mathbf{Z})$, czyli $\sum_{n=-\infty}^{+\infty} |s_n|^2 < +\infty$

Analiza funkcjonalna

Interpolacja sygnału za pomocą bazy funkcji ϕ

$$s(t) = \sum_n a_n \phi(t-n), \text{ gdzie } a_n = \langle s, \phi_n \rangle = \int s(t) \phi_n(t); \quad \phi_n(t) = \phi(t-n)$$

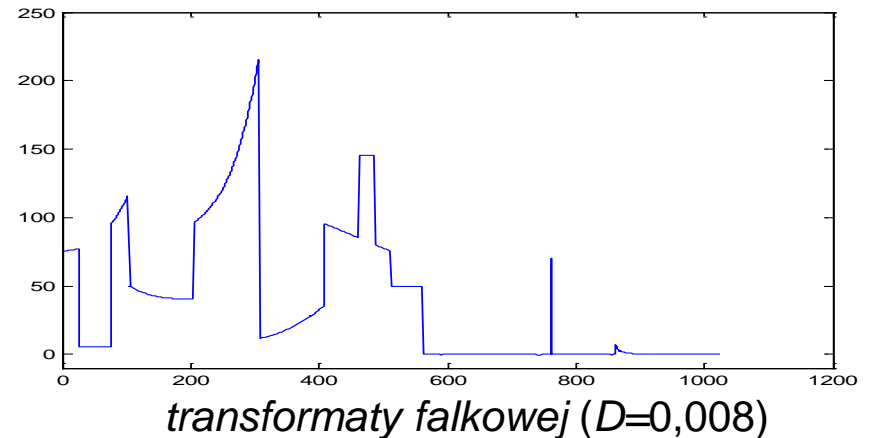
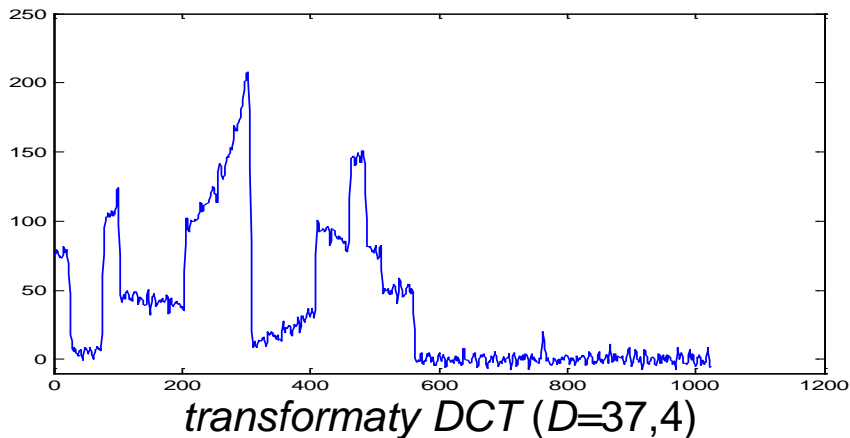
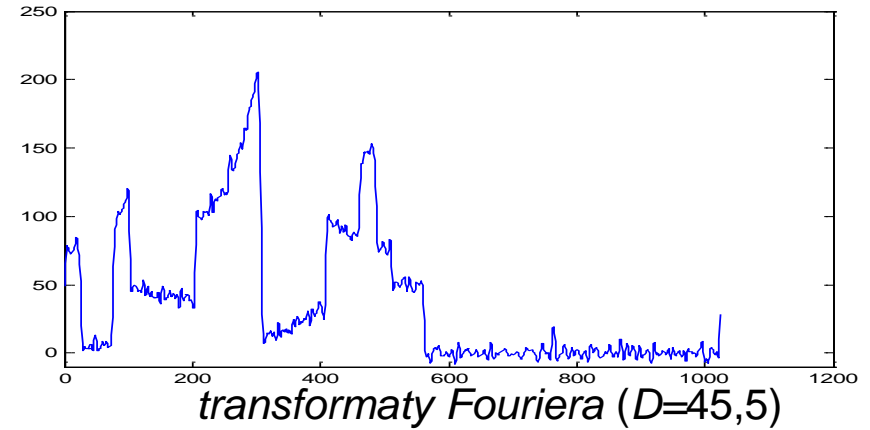
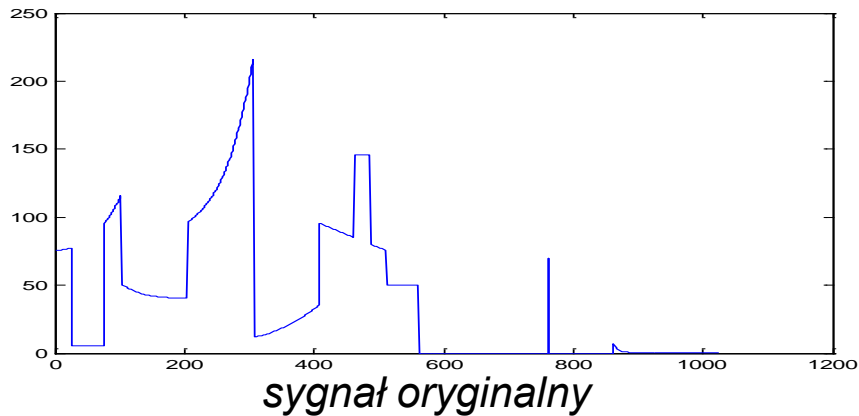
Aproksymacja 'istoty' sygnału

liniowa $\longrightarrow s = \sum_{n=1}^M a_n \phi_n$

nieliniowa (A_M jest zbiorem M największych współczynników) $\longrightarrow s = \sum_{n \in A_M} a_n \phi_n$

Efektywne modele aproksymacji nieliniowej

Model z 15 % współczynników uporządkowanych nierosnąco



Potęga Fouriera



Jean-Baptiste-Joseph Fourier
(1768-1830)

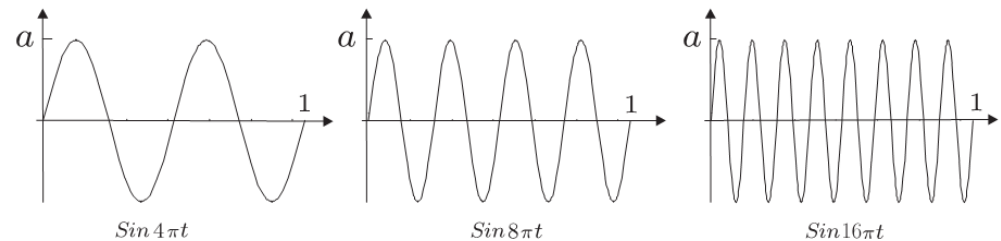
- Częstotliwościowa analiza sygnałów
- Dla każdej funkcji $f(x)$ okresowej (2π) mamy szereg:

$$f(x) = a_0 + \sum_{k=1}^{\infty} (a_k \cos kx + b_k \sin kx)$$

$$a_0 = \frac{1}{2\pi} \int_0^{2\pi} f(x) dx$$

$$a_k = \frac{1}{\pi} \int_0^{2\pi} f(x) \cos(kx) dx$$

$$b_k = \frac{1}{\pi} \int_0^{2\pi} f(x) \sin(kx) dx$$



- Zespalone szeregi Fouriera

$$f(x) = \sum_{k=-\infty}^{\infty} a_k e^{j\omega_k x}, a_k \in \mathbf{R}$$

$$\int_{t_0}^{t_0+T} |f(t)|^2 dt < \infty$$

Transformacja Fouriera (analiza i synteza)

Zakładamy, że $f \in L^2(\mathbb{R})$, czyli energia f jest skończona: $\|f\| = \int |f(t)|^2 dt < \infty$

Iloczyn skalarny (metryka):

$$\langle x(t), y(t) \rangle_{L^2} = \int_{t \in \mathbb{R}} x(t)y(t)^* dt$$

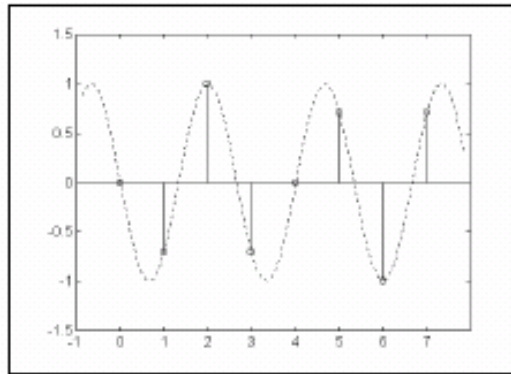
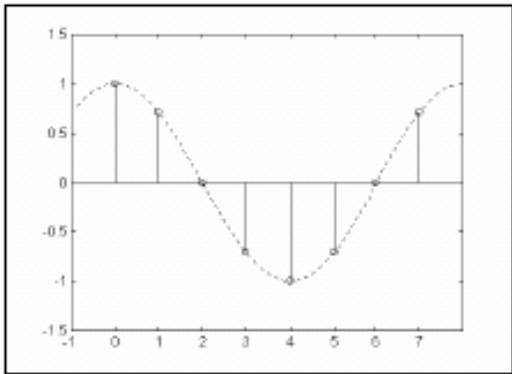
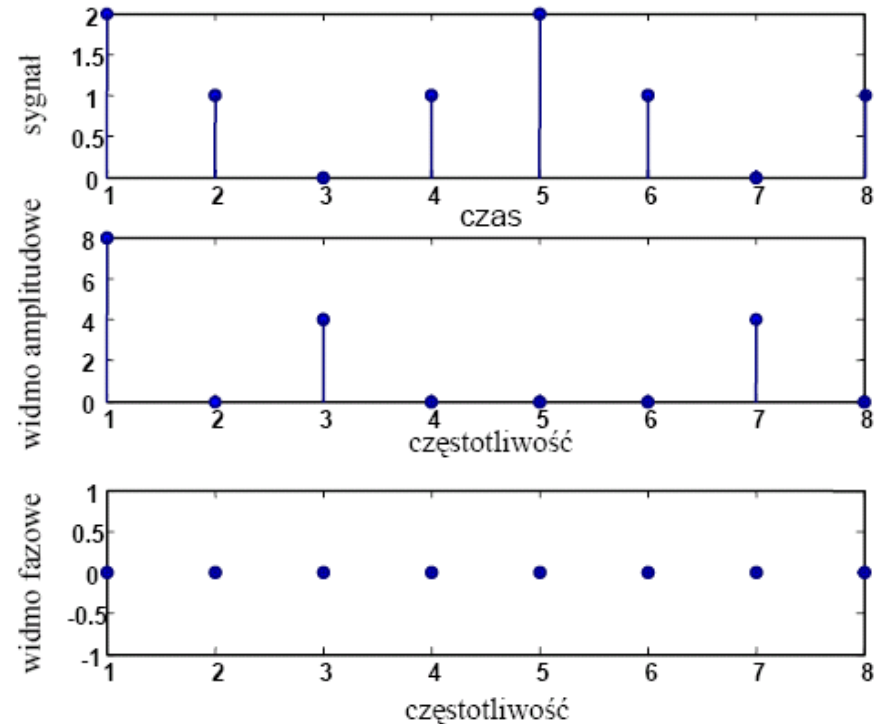
operator TF: $F = \hat{f}: L^2(\mathbb{R}) \rightarrow L^2(\mathbb{R})$

ciągła:

$$\hat{f}(\omega) = \frac{1}{\sqrt{2\pi}} \int_{-\infty}^{\infty} f(t)e^{-i\omega t} dt$$

dyskretna:

$$\hat{f}_k = \frac{1}{\sqrt{2\pi}} \sum_{n=0}^{N-1} f_n e^{-i\frac{2\pi}{N}kn}$$



THEOREM 4.8 (SAMPLING THEOREM (SHANNON-WHITTAKER-KOTELNIKOV-RAABE))

Let h be the ideal lowpass filter with cut-off frequency π/T and gain T as given in (4.37), and let the input to the sampling and interpolation system shown in Figure 4.19 satisfy $x \in BL[-\Omega/2, \Omega/2]$. If $\Omega < 2\pi/T$, then $\hat{x} = x$. In particular, this means that the samples $\{x(nT)\}_{n \in \mathbb{Z}}$ are a sufficient characterization of $x(t)$ and the reconstruction formula

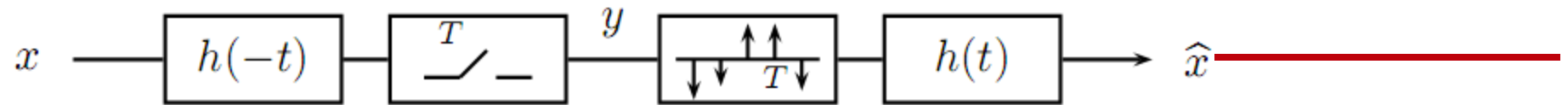
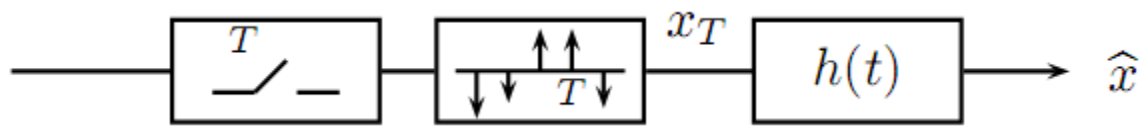
$$x(t) = \sum_{n \in \mathbb{Z}} x(nT) \text{sinc}(\pi(t/T - n))$$

holds.

COROLLARY 4.9 (BANDLIMITED APPROXIMATION) Let Ω be any positive number and let x be any function in $\mathcal{L}^2(\mathbb{R})$. The least-squares approximation of x in $BL[-\Omega/2, \Omega/2]$ is computed by the sampling and interpolation system shown in Figure 4.18 where $T = 2\pi/\Omega$ and h is given by (4.38). In particular, this means that the samples $\{y_n\}_{n \in \mathbb{Z}}$ are a sufficient characterization of the approximation $\hat{x}(t)$ and the formula

$$\hat{x}(t) = \frac{1}{\sqrt{T}} \sum_{n \in \mathbb{Z}} y_n \text{sinc}(\pi(t/T - n))$$

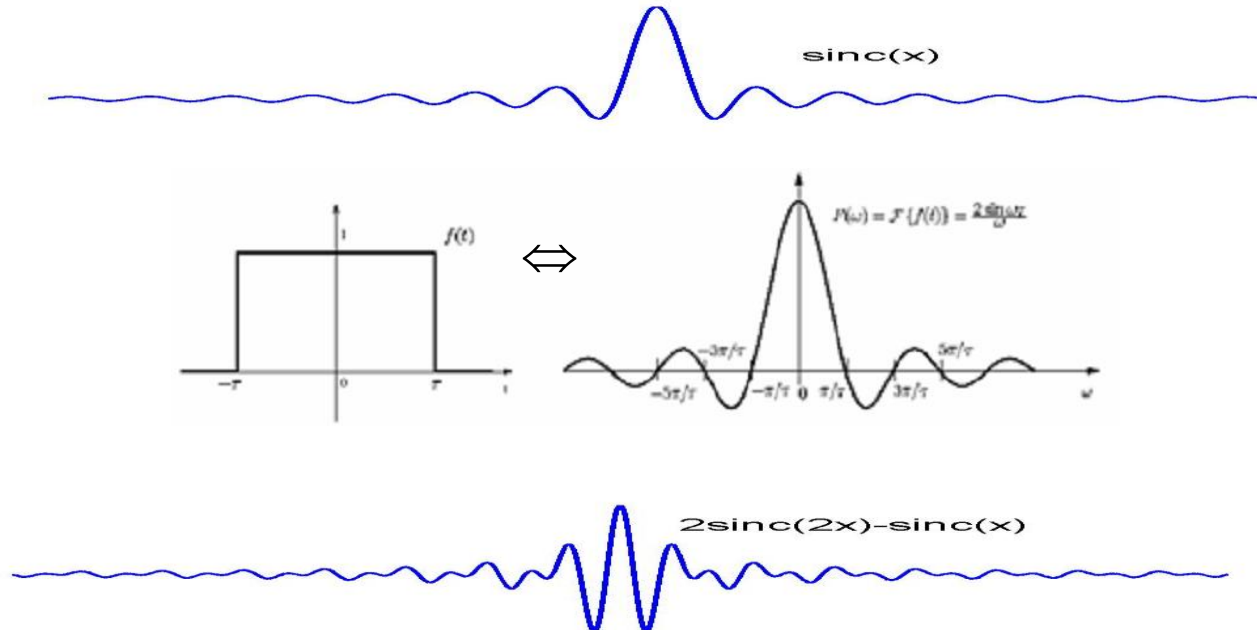
holds.



Falki Shannona

- Shannonowska funkcja przesłony:

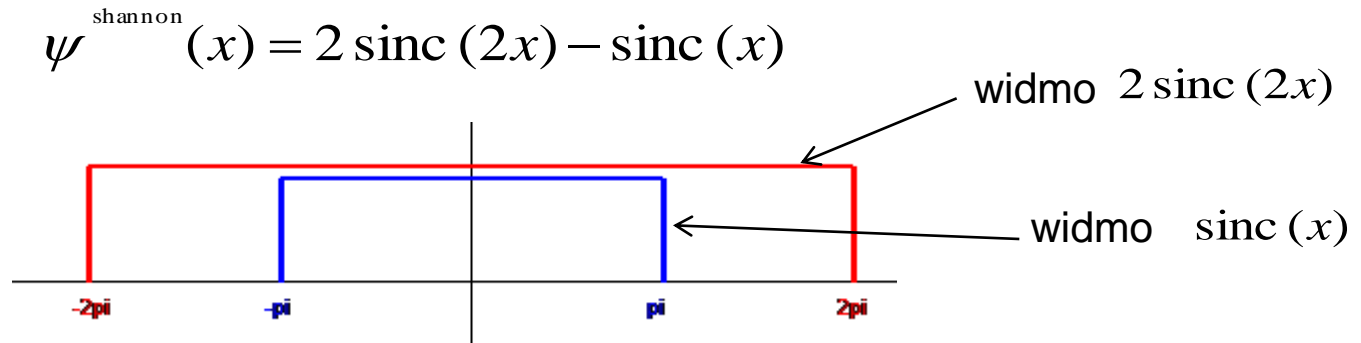
$$\psi^{\text{Shannon}}(x) = 2 \operatorname{sinc}(2x) - \operatorname{sinc}(x)$$



- $\{\psi_{j,k}^{\text{Shannon}}(x) : j, k \in \mathbb{Z}\}$ jest orthonormalną bazą przestrzeni $L^2(\mathbb{R})$

Falki Shannona

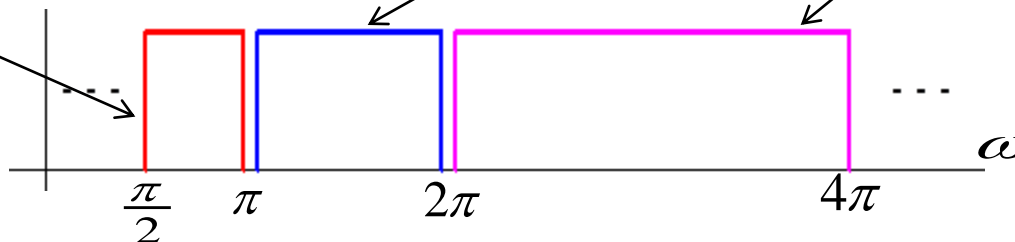
- Widmo $\psi^{\text{shannon}}(x) = 2 \text{sinc}(2x) - \text{sinc}(x)$



- Reprezentacja sygnałów:

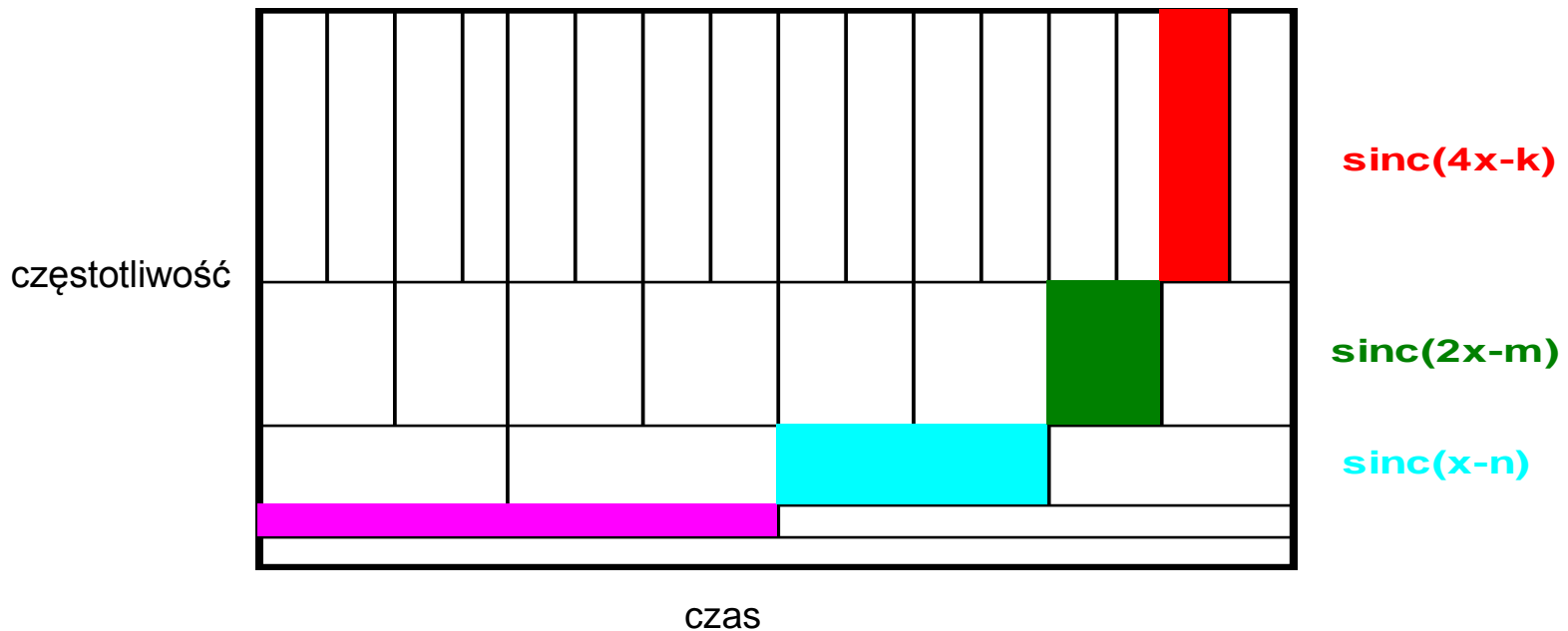
- ograniczonych do pasma $(-\pi, \pi)$ można opisać za pomocą $\text{sinc}(x-n)$...
- ograniczonych do $(-2\pi, \pi) \cup (\pi, 2\pi)$, za pomocą $\psi(x-n)$
- ograniczonych do $(-4\pi, 2\pi) \cup (2\pi, 4\pi)$, za pomocą $\psi_{-1,n} = \sqrt{2}\psi(2x-n)$
- ...

$$\psi_{1,n} = \frac{1}{\sqrt{2}} \psi\left(\frac{x}{2} - n\right)$$



Podział przestrzeni czas-częstotliwość (położenie-skala)

- Zasada nieoznaczoności Heisenberga, czyli atomy położenie-częstotliwość: $\Delta x \cdot \Delta t \geq 2\pi$
- Dobór atomów zależnie od charakteru sygnału



FALKI

Falki czyli natura

Falki odzwierciedlają naturalny charakter informacji (treści) obrazowej

Yves Meyer:

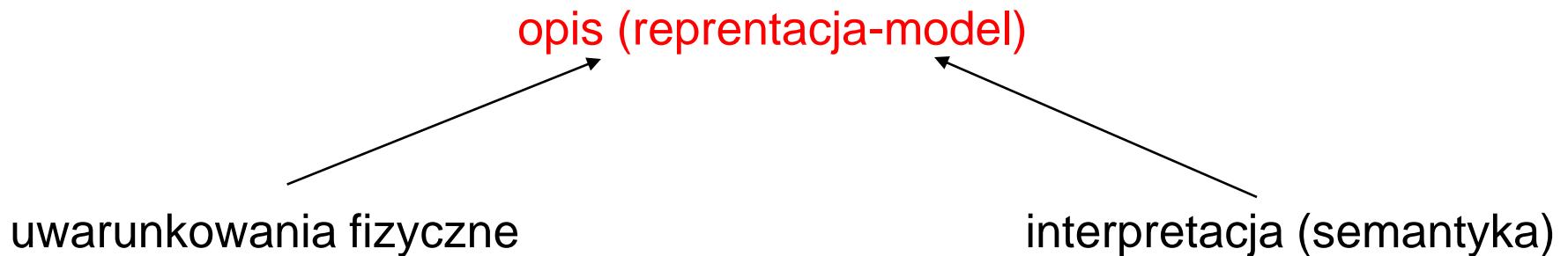
Falki, gdziekolwiek one są ..., nie pomagają nam wyjaśnić faktów naukowych, ale pozwalają opisać rzeczywistość wokół nas, bez względu na to jak bardzo jest naukowa ...

Falkowe korzyści:

- Naturalny opis obrazu w wielu skalach
 - Hierarchia i zależność informacji
 - Selektywność informacji
 - Upakowanie informacji
 - Łatwiejsza identyfikacja informacji użytecznej
 - Składanie (synteza) informacji w różnej postaci
 - Klasyfikacja jakościowa i ilościowa
-

Poszukujemy reprezentacji!!! - nie interpretacji

- Benoit Mandelbrot: “Świat wokół nas jest bardzo złożony. Narzędzia opisu świata, jakimi dysponujemy, są bardzo słabe.”
- Pitagoras: „nie wyrażaj małej rzeczy w wielu słowach, lecz rzecz wielką w niewielu”
- Pitagoras: „liczba jest istotą wszystkich rzeczy”
- Stefan Kisielewski: „wszak istotą jest zasada, nie zaś elementy, poprzez które się ona realizuje”
- Ważna jest relacja:



Definicja falki

- Falka to funkcja f o następujących właściwościach:

a) $f \in L^2(\mathbb{R})$, czyli energia f jest skończona: $\int |f(t)|^2 dt < \infty$

b) wartość średnia f wynosi zero, tj. $\int f(t) dt = 0$

Warunki te wymuszają co najmniej kilka oscylacji

c) alternatywnie do a) i b): $\int \frac{|F(\omega)|^2}{\omega} d\omega < \infty$

Warunki a) i b) oraz c) są równoważne, jeśli f zanika szybciej niż $|t|^{-1}$ dla $t \rightarrow \infty$

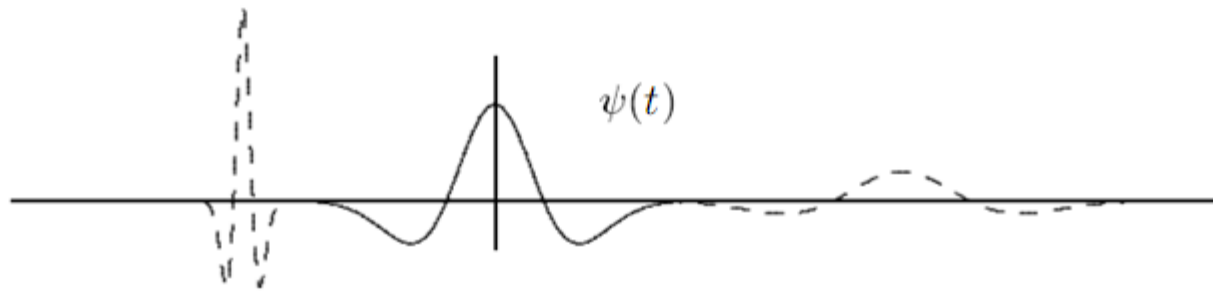
- Cechy:

- silnie wyróżniona jest lokalizacja w czasie, tj. funkcja jest 'lokalna'
 - nośnik (zbiór niezerowych wartości) jest zwarty (czyli domknięty i ograniczony) i niepusty
 - nośnik jest 'prawie zwarty' (widmo częstotliwościowe ma zwarty nośnik)
 - kształt przypomina gasnące pobudzenie ośrodka, tj. falę z gasnącymi amplitudami kolejnych oscylacji oddalających się od zaburzenia centralnego

Transformacja falkowa

- Baza przekształcenia liniowego: rodzina falek

$$\psi^{s,x}(t) = \frac{1}{\sqrt{|s|}} \psi\left(\frac{t-x}{s}\right), \quad s \neq 0$$



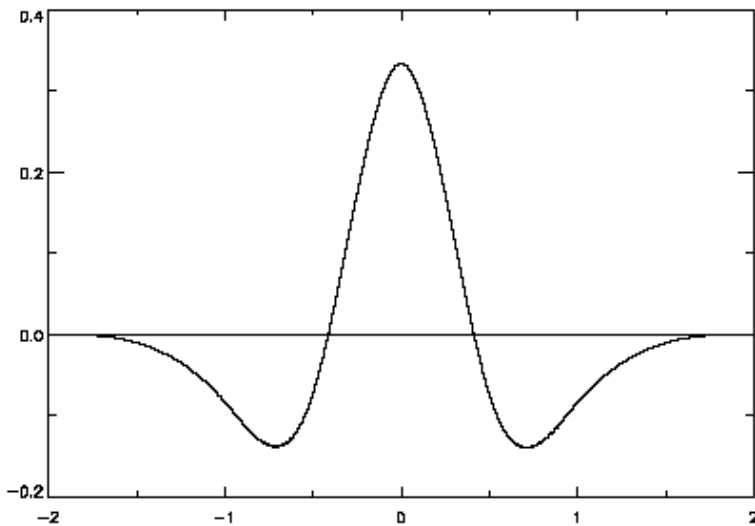
- Transformacja falkowa (ciągła)

$$\mathcal{W}_f(s, x) = \langle f, \psi^{s,x} \rangle = \int f(t) \frac{1}{\sqrt{|s|}} \psi^*\left(\frac{t-x}{s}\right) dt$$

Ciągła transformacja falkowa

Przykład: kapelusz
meksykański:

$$g(x) = (1 - x^2)e^{-\frac{1}{2}x^2}$$



A Wavelet Tour of Signal Processing
Stéphane Mallat, Academic Press 1999 (2nd edition)

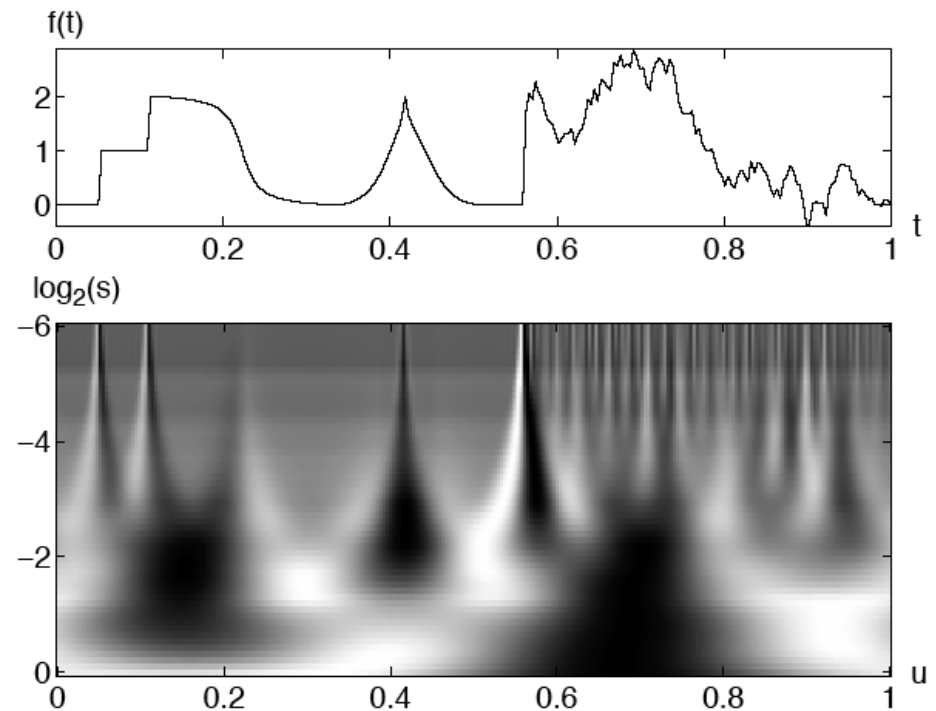


Figure 4.7: Real wavelet transform $Wf(u, s)$ computed with a Mexican hat wavelet. The vertical axis represents $\log_2 s$. Black, grey and white points correspond respectively to positive, zero and negative wavelet coefficients.

Ciągła transformacja falkowa - synteza

rekonstrukcja:
$$f(t) = \frac{1}{C_\psi} \int \frac{1}{\sqrt{|s|}} W_f(s, x) \psi\left(\frac{t-x}{s}\right) ds dx$$

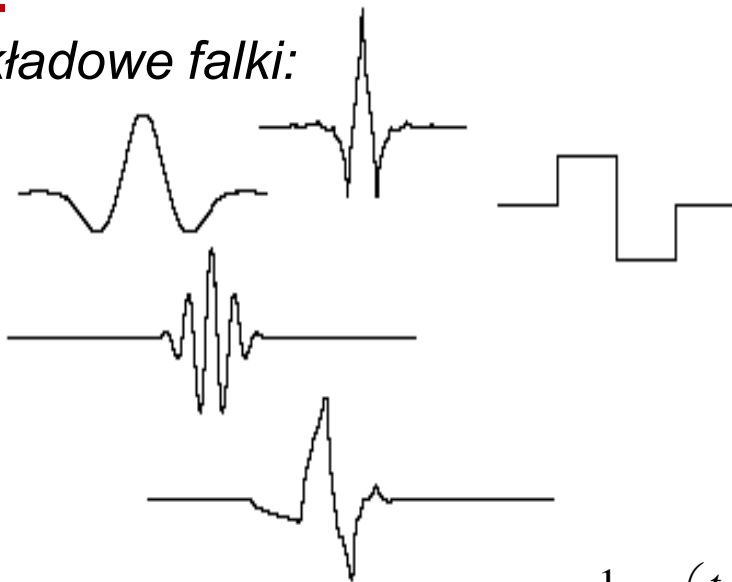
warunek na falki:
$$C_\psi = \int |\psi(t)|^2 \frac{dt}{t} < \infty$$

warunek uproszczony:
$$\psi(0) = 0$$

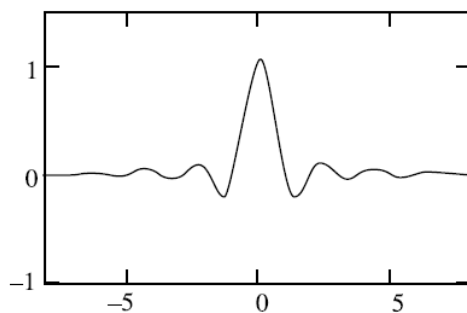
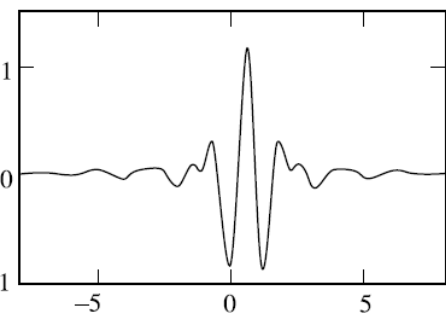
Problemy z dokładną rekonstrukcją – rozwiązanie:
transformacja dyskretna

Problem doboru bazy przekształcenia

przykładowe falki:

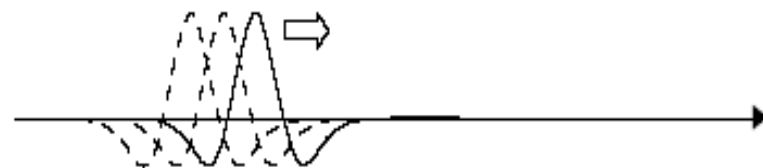


$$\psi^{s,x}(t) = \frac{1}{\sqrt{|s|}} \psi\left(\frac{t-x}{s}\right), \quad s \neq 0$$

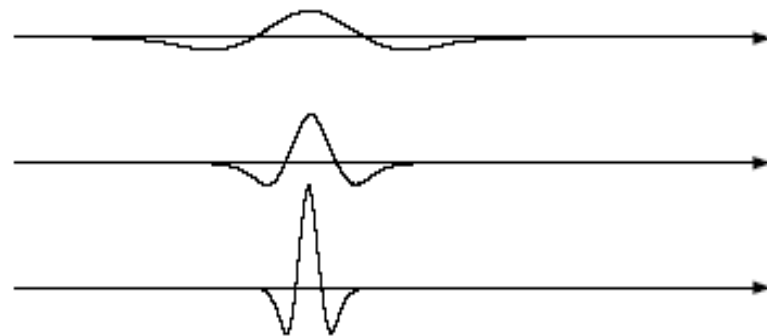


falka Meyera wraz z funkcją skalującą

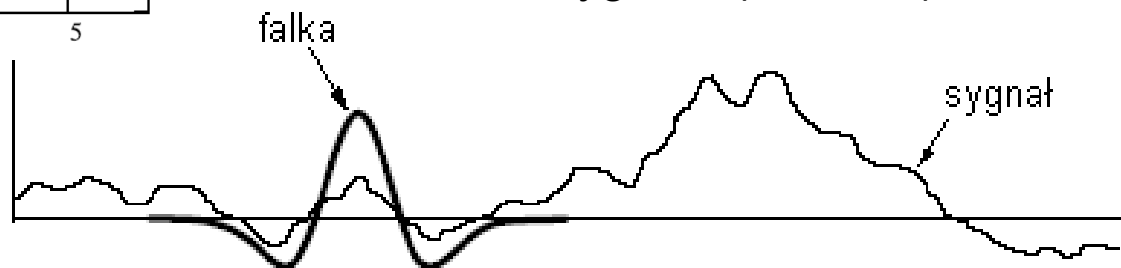
baza falkowa: translacja



skalowanie



Baza funkcji dopasowanych do cech sygnału (obrazu?)



APROKSYMACJA WIELOROZDZIELCZA

Analiza (aproksymacja) wielorozdzielcza

- Teoria nawiązująca do piramid wieloskalowych (Gausssa, Laplace'a)
 - Efekt: praktyczny schemat liczenia dyskretnej transformacji falkowej
 - Istnieją algorytmy alternatywne

 - Wielorozdzielczość - jednoczesne występowanie wielu skal w reprezentacji sygnału
 - Zasadnicza idea:
 - dekompozycja funkcji na centralną reprezentację zgrubną (niskorozdzielczą) oraz sekwencję reprezentacji szczegółowych (wysokorozdzielczych)
 - procedura dekompozycji zakłada kolejne aproksymacje sygnału z malejącą rozdzielczością (rosnącą skalą)
-

Hierarchiczna piramida



Definicja MRA (*multiresolution analysis/approximation*)

Definicja 3.1 *O aproksymacji wielorozdzielczej (Mallat)*

Aproksymacją wielorozdzielczą jest ciąg $\{V_m\}_{m \in \mathbf{Z}}$ domkniętych podprzestrzeni $L^2(\mathbf{R})$, takich że:

- a) $\forall_{(m,n) \in \mathbf{Z}^2} f(t) \in V_m \iff f(t - n2^m) \in V_m$ (niezmiennicza względem przesunięcia, skalowanie z dwójką)
- b) $\forall_{m \in \mathbf{Z}} V_{m+1} \subset V_m$ (skalowanie)
- c) $\forall_{m \in \mathbf{Z}} f(t) \in V_m \iff f\left(\frac{t}{2}\right) \in V_{m+1}$ (skalowanie przez 2)
- d) $\lim_{m \rightarrow +\infty} V_m = \bigcap_{m=-\infty}^{+\infty} V_m = \{0\}$ (zerowanie reprezentacji zgrubnej – wytracenie całej energii w reprezentacjach szczegółowych)
- e) $\lim_{m \rightarrow -\infty} V_m = \overline{\bigcup_{m \in \mathbf{Z}} V_m} = L^2(\mathbf{R})$ (rozpinanie przestrzeni do $L^2(\mathbf{R})$)
- f) istnieje funkcja $\phi \in V_0$ taka, że $\{\phi(t - n)\}_{n \in \mathbf{Z}}$ jest bazą Riesz w centralnej podprzestrzeni V_0 (istnienie centralnej podprzestrzeni z bazą Riesz)

□

Bezpośrednie konsekwencje MRA

- Dwie kluczowe operacje: skalowanie i przesuwanie
- Zupełność przestrzeni opisu sygnału w $L^2(\mathbf{R})$ (przypadek p. Hilberta)
- Znaczy to, że energia każdego sygnału w V_0 jest ograniczona i rozwinięcia funkcji w bazie tej podprzestrzeni są ograniczane dodatkowymi warunkami
- Każdą funkcję $f \in L^2(\mathbf{R})$ można aproksymować z dowolną dokładnością - za pomocą rzutów na V_m :

$$\lim_{m \rightarrow -\infty} P_{V_m} f = f$$

lub też z utratą wszystkich szczegółów:

$$\lim_{m \rightarrow +\infty} P_{V_m} f = 0$$

Baza centralnej podprzestrzeni V_0

- Baza Riesz jest uogólnieniem pojęcia bazy ortonormalnej - w centralnej podprzestrzeni V_0 określa skrajne warunki na postać transformacji realizujących analizę wielorozdzielczą sygnałów
- $\mathcal{B}_\phi = \{\phi(t - n)\}_{n \in \mathbf{Z}}$ jest bazą przestrzeni V_0 ($V_0 = \text{span}(\mathcal{B}_\phi)$), której funkcje są liniowo niezależne
- współczynniki $\{a_n\}_{n \in \mathbf{Z}} \in \ell^2(\mathbf{Z})$
- istnieją dwie dodatnie stałe A i B ($0 < A \leq B < \infty$) takie, że zachodzi warunek:

$$A\|\{a_n\}\|^2 \leq \left\| \sum_n a_n \phi(t - n) \right\|^2 \leq B\|\{a_n\}\|^2$$

- znaczy to, że rozwinięcia dowolnej funkcji przestrzeni $L^2(\mathbf{R})$ są numerycznie stabilne w danej bazie
- Wśród różnych postaci bazy numerycznie stabilnej szczególnie użyteczną jest baza ortonormalna, dla której $A=B=1$, czyli dla dowolnej $f \in V_0$ o reprezentacji

$$f = \sum_n a_n \phi(t - n) \quad \text{zachodzi}$$

$$\|f\|^2 = \sum_n |a_n|^2$$

Baza ortonormalna

- Jeśli B_ϕ jest bazą Riesz, to można znaleźć postać taką postać $\{\phi(t - n)\}_{n \in \mathbb{Z}}$, by była to baza ortonormalna (uprasza się ostatni warunek MRA do baz ortonormalnych)

- Najbardziej naturalną jest rodzina funkcji postaci

$$\phi_{m,n}(t) = 2^{-m/2} \phi(2^{-m}t - n)$$

$$\psi^{s,x}(t) = \frac{1}{\sqrt{|s|}} \psi\left(\frac{t-x}{s}\right), \quad s \neq 0$$

falka

o skali 2^m i współczynnikach skalujących

$$a_{m,n} = \langle f, \phi_{m,n} \rangle$$

- Jest to baza funkcji skalujących (aproksymujących) ze skalującą funkcją podstawową ϕ

Równanie skalujące

- Podstawowa funkcja skalująca dla V_0 to $\phi(t) = \phi_{0,0} \in V_0$
- Z MRA mamy $V_0 \subset V_{-1}$, co oznacza że również $\phi(t) \in V_{-1}$, czyli można ją rozwinąć w V_{-1} za pomocą funkcji bazowych

$$\phi_{-1,n} = \sqrt{2}\phi(2t - n)$$

$$\phi_{m,n}(t) = 2^{-m/2}\phi(2^{-m}t - n)$$

otrzymujemy wtedy **równanie skalujące**:

$$\phi(t) = \sqrt{2} \sum_n h_n \phi(2t - n)$$

gdzie h_n to współczynniki rozwinięcia w bazie V_{-1} (interpretowane jako współczynniki dyskretnego filtru h skojarzonego z bazą funkcji skalujących), przy czym

$$h_n = \sqrt{2} \int \phi(t)\phi(2t - n)dt$$

Filtry skalujące (dolnoprzepustowe)

- Z warunku ortonormalności w dziedzinie częstotliwości wynika zależność

$$\forall_{\omega \in \mathbf{R}} \sum_{k=-\infty}^{\infty} |\Phi(\omega + 2k\pi)|^2 = 1$$

co w połączeniu z interpretacją równania skalującego w dziedzinie częstotliwości daje warunek na filtry ($H(\omega) = \sum_{n=-\infty}^{\infty} h_n e^{-j\omega n}$)

$$|H(\omega)|^2 + |H(\omega + \pi)|^2 = 2$$

- Dyskretne filtry spełniające ten warunek nazywane są sprzężonymi filtrami lustrzanymi (*conjugate mirror filters*)
- Ortogonalność jest kontrolowana przez liczbę „zer w π ” (tj. $H(\omega = \pi) = 0$) co jest często wykorzystywane przy projektowaniu bazy funkcji skalujących - to rozwiniemy później

Falkowa przestrzeń uzupełniająca

- dopełnienie informacji o szczegółach w danej skali
- szczegóły potrzebne do zwiększania rozdzielczości aproksymacji V_m funkcji f zawarte są w uzupełniających podprzestrzeniach W_m takich, że
- $W_m \subset V_{m-1}$
- Jeśli W_m jest ortogonalne do V_m , to jest jego dopełnieniem do V_{m-1} uzupełniającym energię sygnału:

$$V_{m-1} = V_m \oplus W_m$$

oraz w odniesieniu do kolejnych skal aproksymacji:

$W_m \perp W_{m'}$ dla $m \neq m'$ oraz $W_{m'} \subset V_m \perp W_m$ przy $m' > m$
co daje dla kolejnych przestrzeni ortogonalnych

$$V_{m-1} = V_{m'} \oplus \bigoplus_{i=0}^{m'-m} W_{m'-i}$$

- Podprzestrzenie W_m są rozpinane przez ortogonalne bazy falkowe

Baza falkowa

- Ortogonalny rzut funkcji f na podprzestrzeń szczegółów W_m jest rozwinięciem w ortonormalnej bazie falkowej tej podprzestrzeni:

$$P_{W_m} f = \sum_{n \in \mathbf{Z}} \langle f, \psi_{m,n} \rangle \psi_{m,n}$$

zachodzi też:

$$P_{W_m} f = \Delta P_{V_m} f = P_{V_{m-1}} f - P_{V_m} f$$

oraz

$$f = \sum_{m=-\infty}^{\infty} P_{W_m} f = \sum_{m,n \in \mathbf{Z}} \langle f, \psi_{m,n} \rangle \psi_{m,n} = \sum_{m,n \in \mathbf{Z}} c_{m,n}(f) \psi_{m,n}$$

gdzie $c_{m,n} = \langle f, \psi_{m,n} \rangle$ to współczynniki falkowe

- Zbiór funkcji $\{\psi_{m,n}\}_{n \in \mathbf{Z}}$ jest falkową bazą ortonormalną podprzestrzeni W_m

$$\psi_{m,n}(t) = 2^{-m/2} \psi(2^{-m}t - n)$$

Równanie falkowe

- Związek pomiędzy bazą falkową i bazą funkcji skalujących, wynikający z MRA oraz koncepcji uzupełnienia, ma postać równania falkowego:

$$\psi(t) = \sqrt{2} \sum_n g_n \phi(2t - n) = \sum_n (-1)^{1-n} h_{1-n} \phi(2t - n)$$

współczynniki górnoprzepustowego filtra lustrzanego g :

$$g_n = \left\langle \frac{1}{\sqrt{2}} \psi(t), \phi(2t - n) \right\rangle$$

- Zależności pomiędzy współczynnikami skalującymi i falkowymi kolejnych skal aproksymacji w dekompozycji (analizie) f są następujące:

$$a_{m,n}(f) = \sum_k h_{k-2n} a_{m-1,k}(f) \quad c_{m,n}(f) = \sum_k g_{k-2n} a_{m-1,k}(f)$$

są to filtrowe odpowiedniki równania skalującego i falkowego

- Przy rekonstrukcji:

$$a_{m-1,n}(f) = \sum_k [h_{n-2k} a_{m,k}(f) + g_{n-2k} c_{m,k}(f)]$$

Filtry falkowe

- Na podstawie MRA i dopełnień podprzestrzeni istnieje związek:

Twierdzenie 3.2 O ortonormalnej bazie falek (Mallat, Meyer)

$$\Psi(\omega) = 2^{-1/2} G(\omega/2) H(\omega/2) \quad \text{przy} \quad G(\omega) = e^{-i\omega} H^*(\omega + \pi)$$

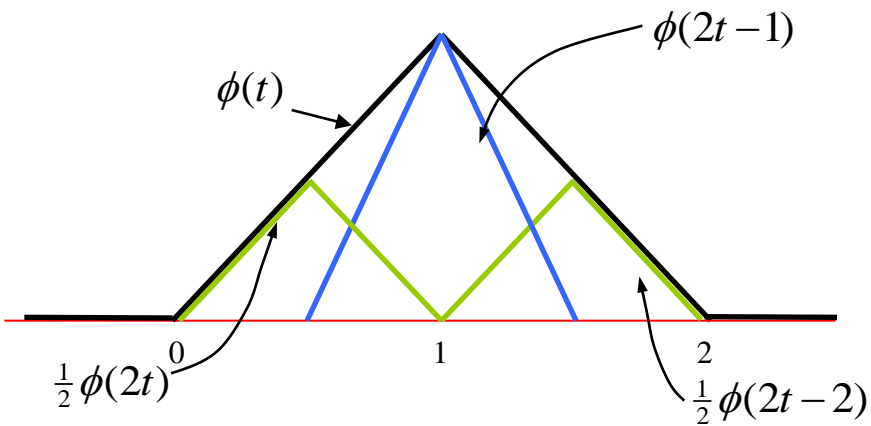
- Konstrukcje filtrów (baz) falkowych są bardzo różnorodne
-

KONSEKWENCJE PRAKTYCZNE

Przykładowe realizacje skalowania i filtrowej reprezentacji bazy falkowej

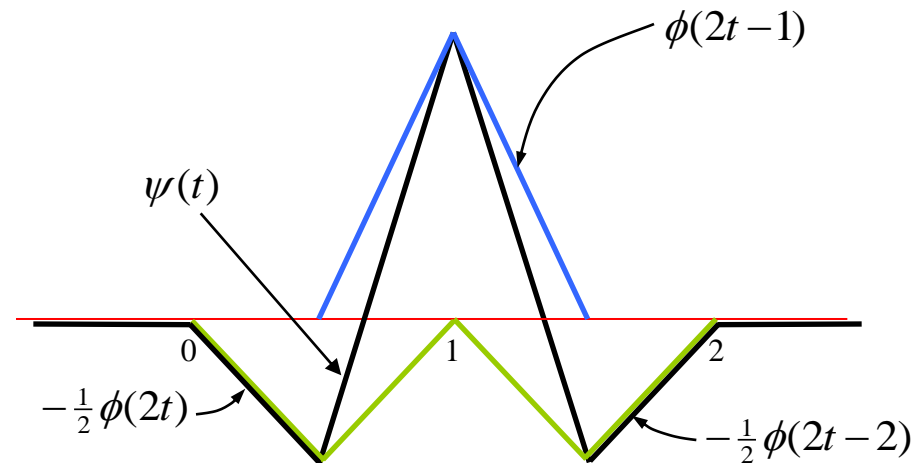
Filtry sprzężone z funkcjami skalującymi – falkami:

$$\phi(t) = \sqrt{2} \sum_n h_n \phi(2t - n)$$



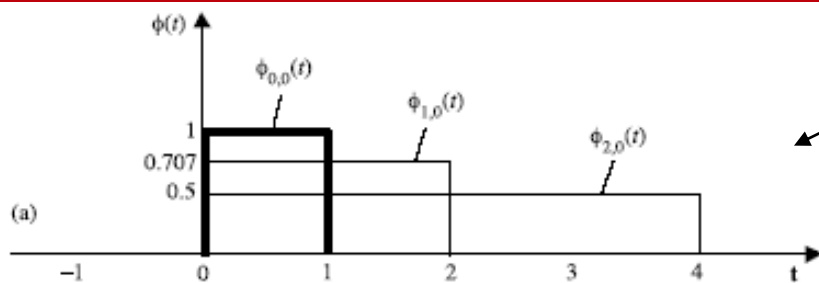
$$h_0 = h_2 = \frac{1}{2\sqrt{2}}, h_1 = \frac{1}{\sqrt{2}}$$

$$\psi(t) = \sqrt{2} \sum_n \tilde{g}_n \phi(2t - n)$$

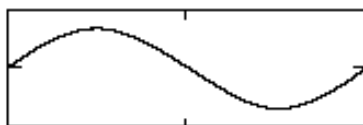


$$g_0 = g_2 = -\frac{1}{2\sqrt{2}}, g_1 = \frac{1}{\sqrt{2}}$$

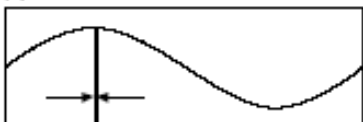
Aproksymacja sygnału w różnych skalach



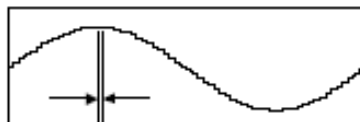
funkcje skalujące



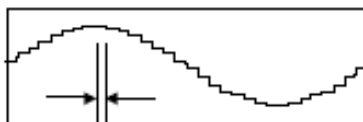
(b)



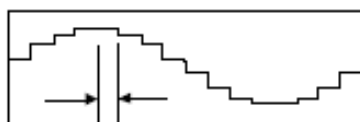
$m = 0$



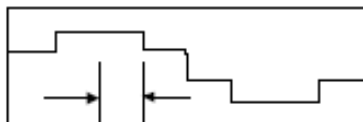
$m = 1$



$m = 2$



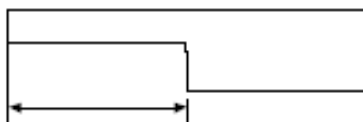
$m = 3$



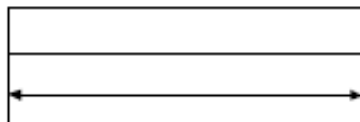
$m = 4$



$m = 5$



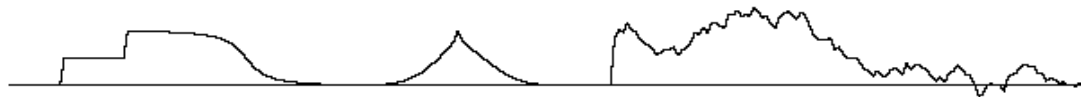
$m = 6$



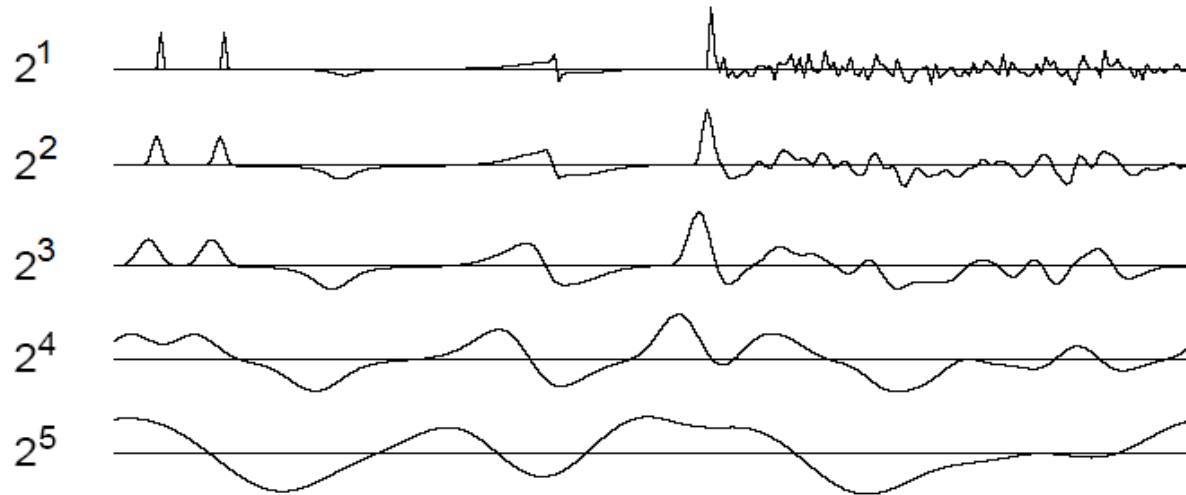
$m = 7$

Detale i przybliżenia

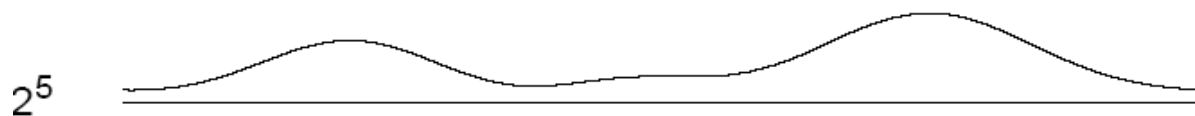
Sygnal



Współczynniki falkowe

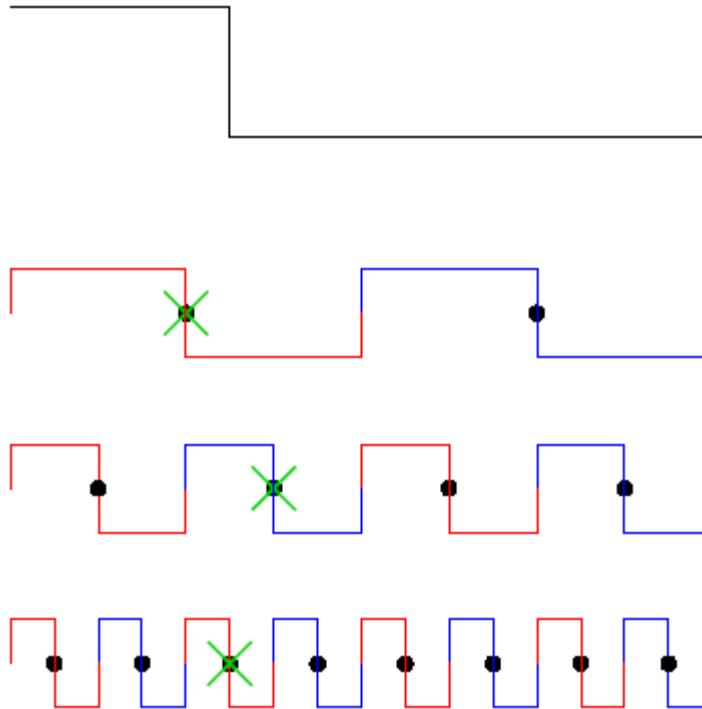


Aproksymacja z pozostałych skal

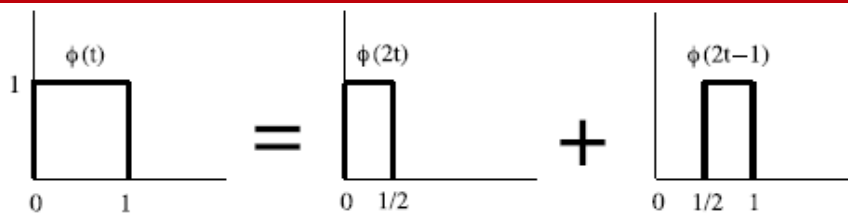


Dokładność w przybliżeniu

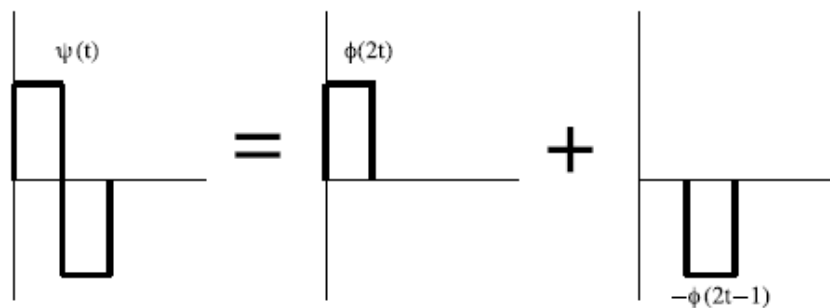
Lokalna charakterystyka sygnału (nieciągłości, osobliwości) –
upakowanie energii w określonych miejscach przestrzeni falkowej



Falka Haara i baza ortogonalna

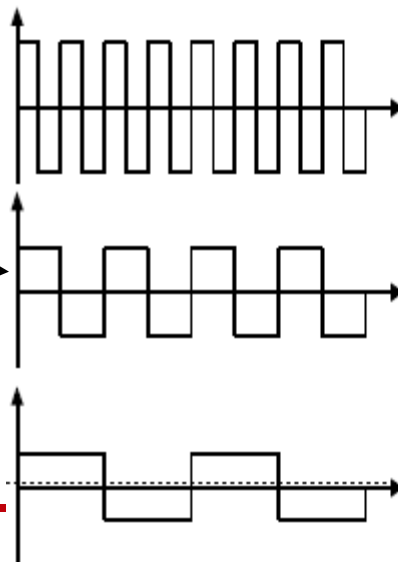


konstruowanie funkcji skalującej

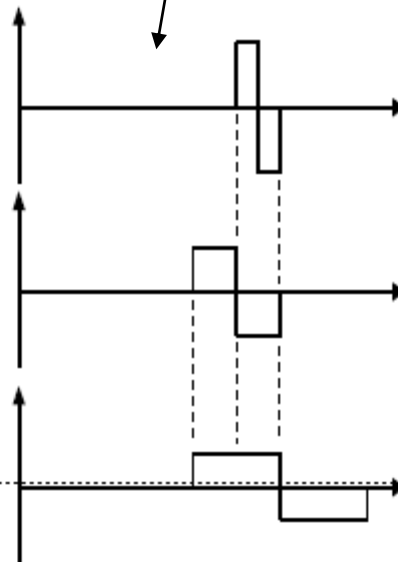


konstruowanie falki

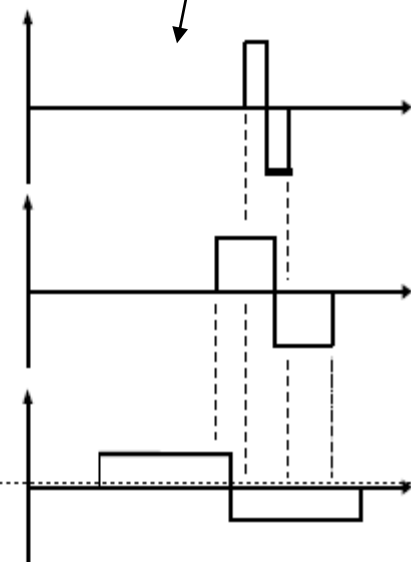
skala diadyczna



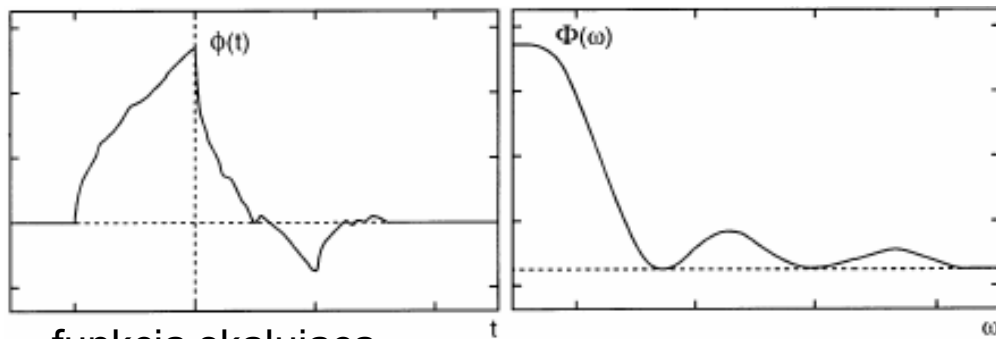
baza ortogonalna
w skali diadycznej



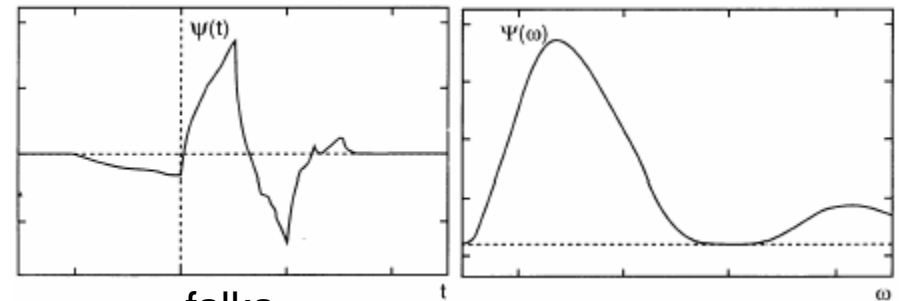
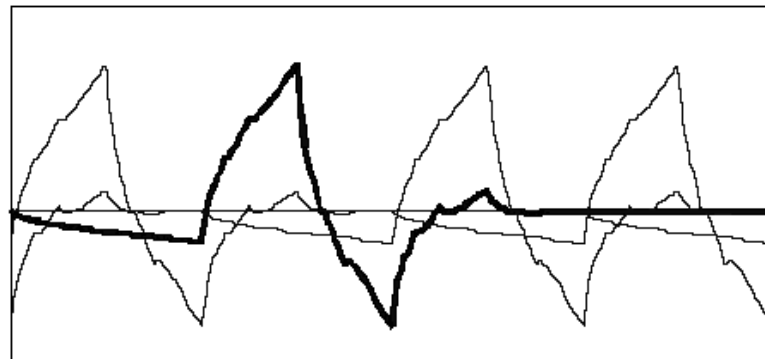
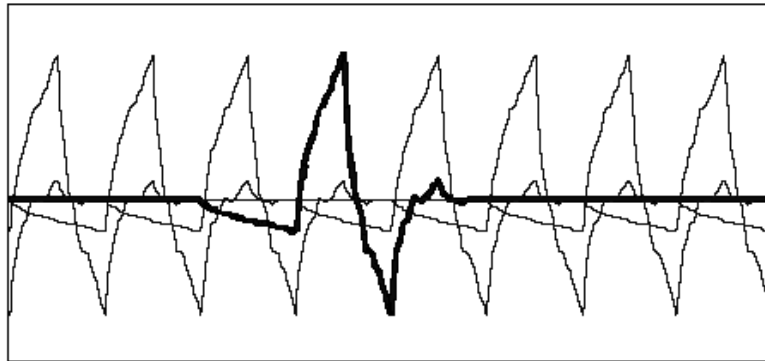
falki nie są
wzajemnie
ortogonalne w
innej skali



Falka Daubechies



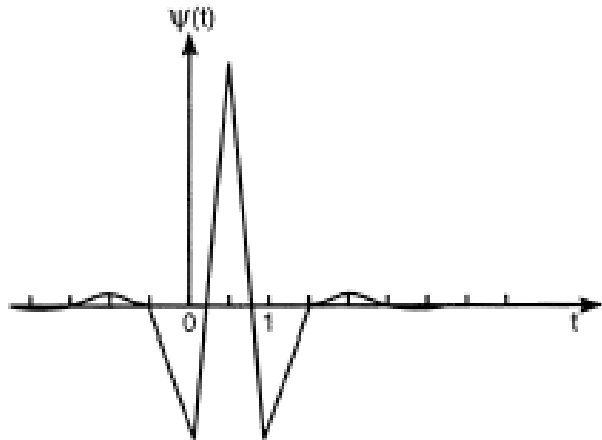
funkcja skalująca



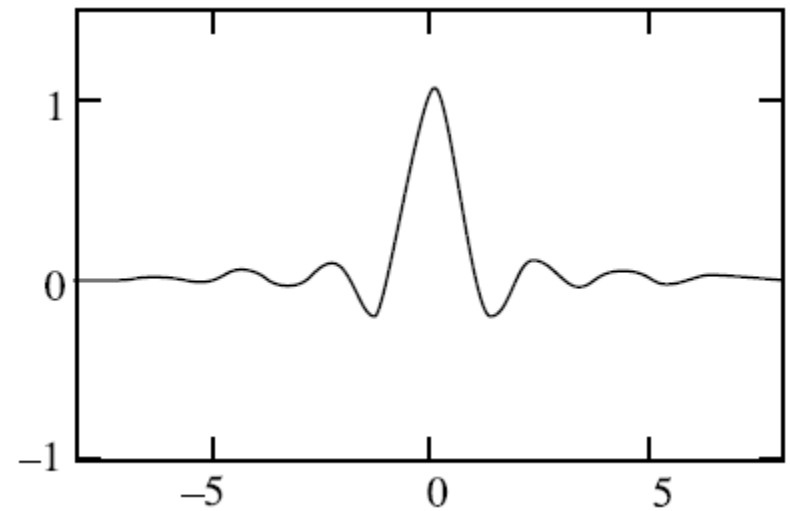
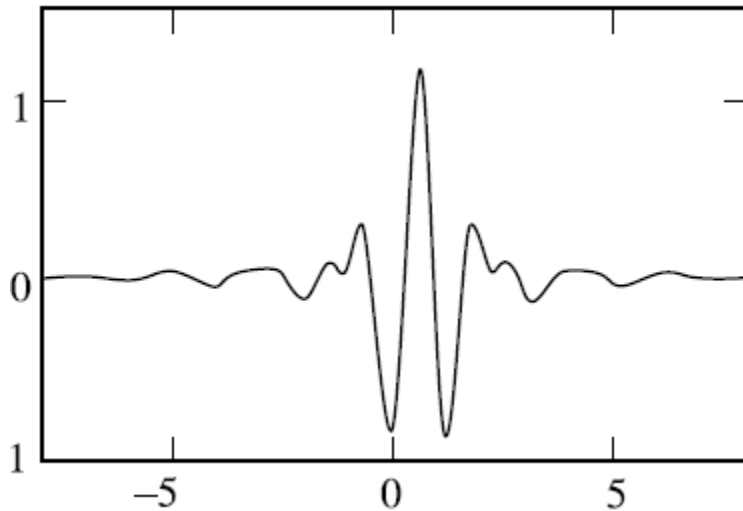
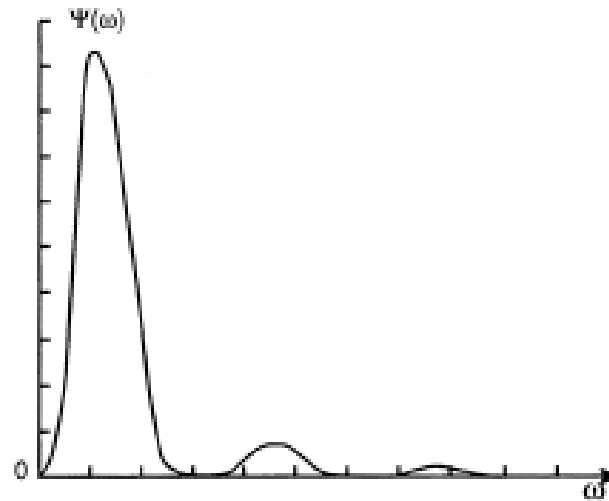
falka

baza falkowa (różne skale, przesunięcia)

Inne falki

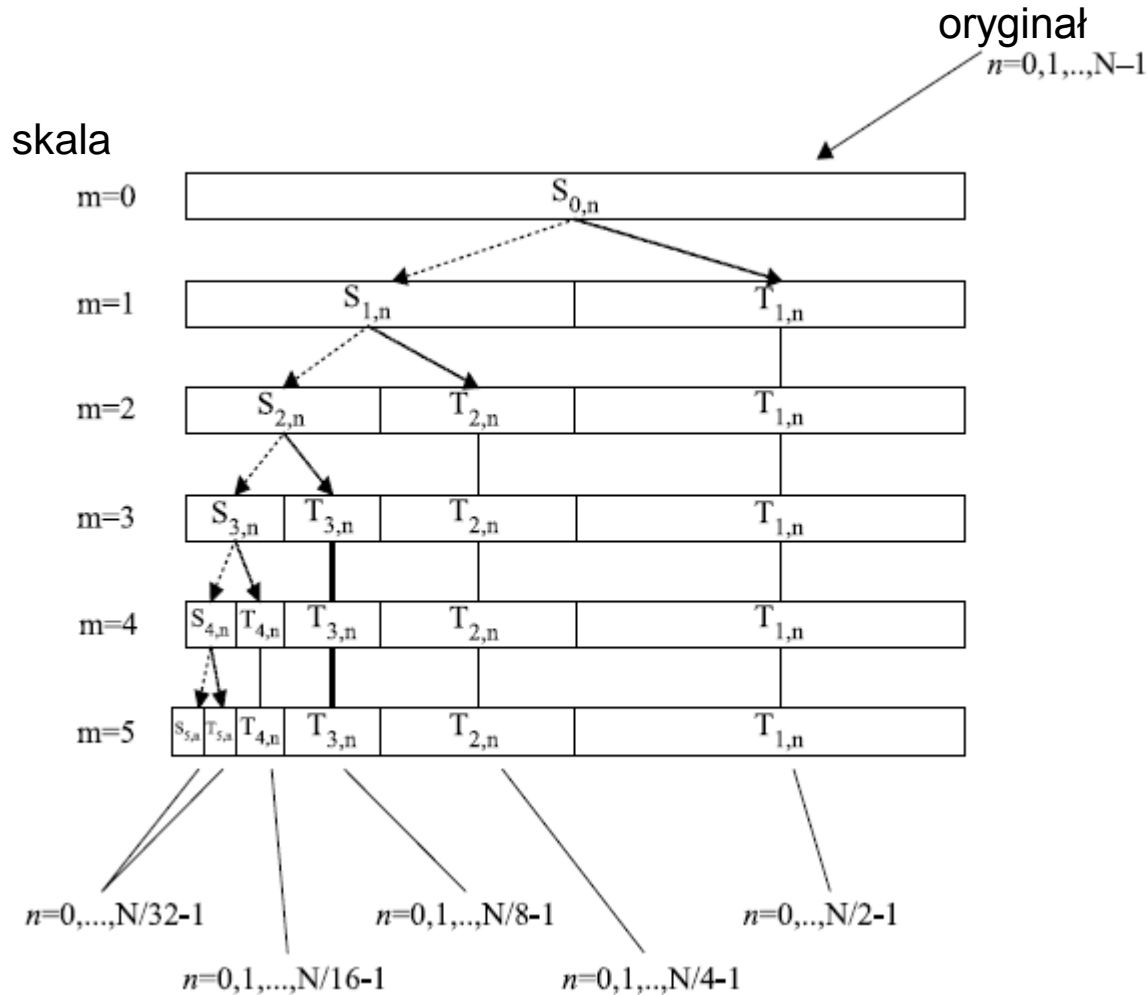


falka Lemarie-Battle

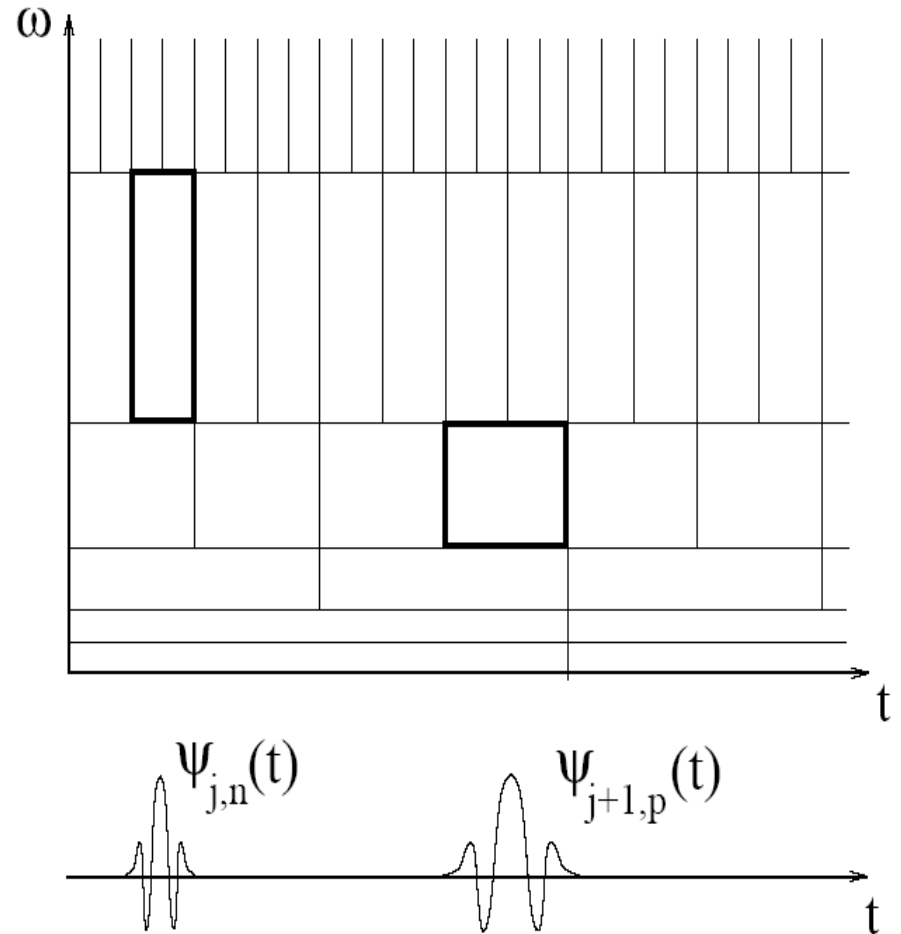
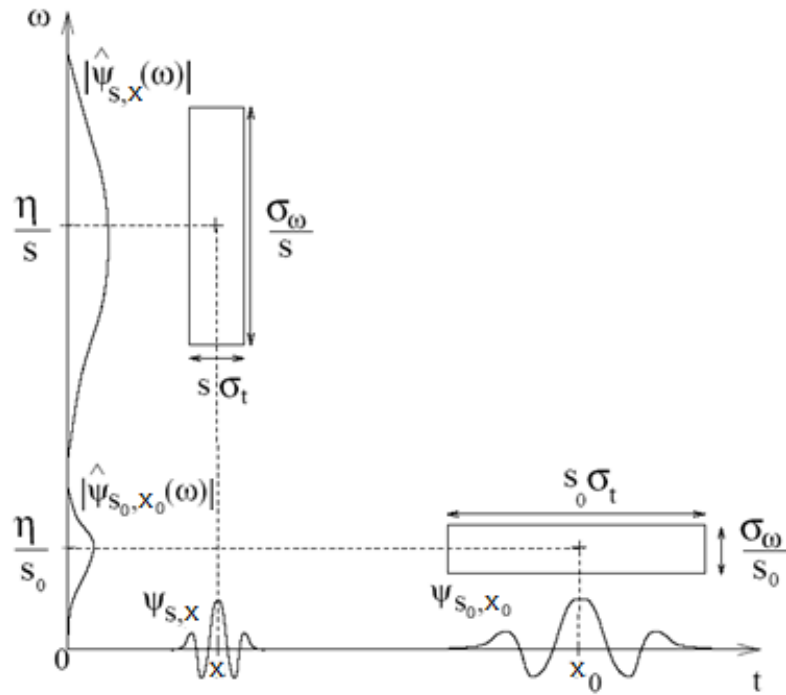


falka Meyera wraz z funkcją skalującą

Rozkład podpasm dekompozycji

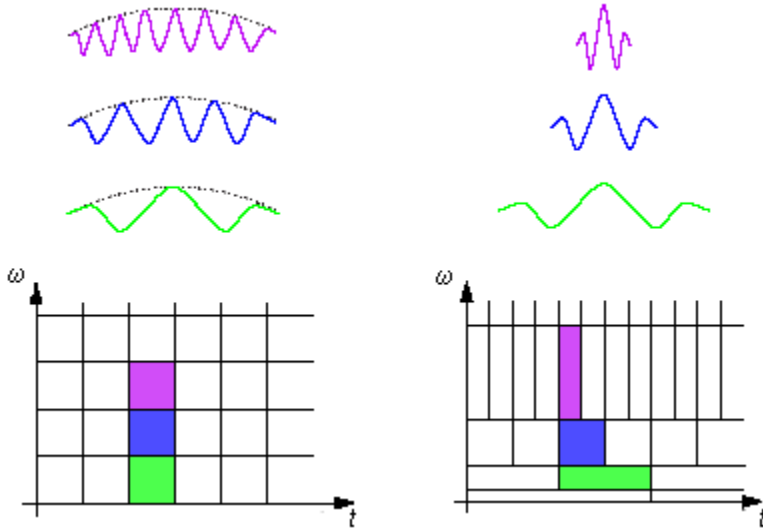


Falkowa dziedzina

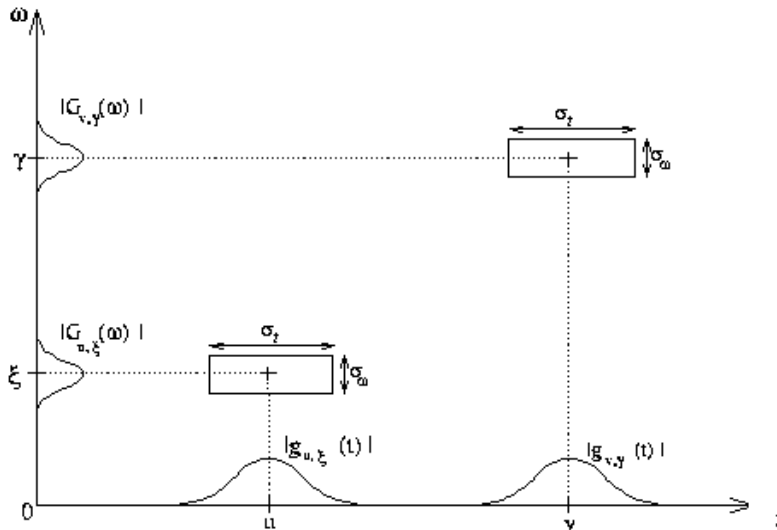


Dziela przestrzeń czas-częstotliwość na 'różne atomy'

Alternatywy



Okienkowa transformacja Fouriera:



$$F_x^S(t, \omega) = \langle x, g_{t,\omega} \rangle = \int_{-\infty}^{\infty} x(\tau) g(\tau - t) e^{-i\omega\tau} d\tau$$

Transformacje "krótkoczasowe":

$$S_x(t, f) = \int_{-\infty}^{\infty} R_x(t, \tau) e^{-j2\pi f\tau} d\tau$$

gdzie estymata lokalnej funkcji autokorelacji sygnału $x(t)$ w otoczeniu chwili czasowej t :

$$R_x(t, \tau) = E_i \left\{ x\left(t + \frac{\tau}{2}\right) x^*\left(t - \frac{\tau}{2}\right) \right\}$$

W najprostszym przypadku można napisać:

$$S_x(t, f) = \int_{-\infty}^{\infty} |h(\frac{\tau}{2})|^2 x\left(t + \frac{\tau}{2}\right) x^*\left(t - \frac{\tau}{2}\right) e^{-j2\pi f\tau} d\tau$$

Przykładowo, klasyczna transformata Wignera:

$$S_x^W(t, f) = \int_{-\infty}^{\infty} x\left(t + \frac{\tau}{2}\right) x^*\left(t - \frac{\tau}{2}\right) e^{-j2\pi f\tau} d\tau$$

$$S_X^W(t, f) = \int_{-\infty}^{\infty} X\left(f + \frac{\nu}{2}\right) X^*\left(f - \frac{\nu}{2}\right) e^{j2\pi\nu t} d\nu$$

Czasowo-częstotliwościowe reprezentacje sygnałów

parametryczne

modele MA, AR, ARMA o
zmiennych współczynnikach

nieparametryczne

liniowe

spektrogramy

- Gabor
- STFT
- max widmo
- max obwiednia

skalogramy

- transformata
wavelet

nieliniowe

spektrogramy

biliniowe

- klasa Cohena
- Wigner
 - Wigner-Ville
 - Page
 - Levin
 - Margenau-Hill
 - Rihaczek
 - Born-Jordan
 - Choi-Williams
 - Zhao-Atlas-Marks
 - GED, TGD, MTED
 - Butterworth
 - itd.

wąskopasmowa funkcja
nieoznaczoności

wieloliniowe

klasa Boashasha-O'Shea'ego

skalogramy

afiniczny Wigner

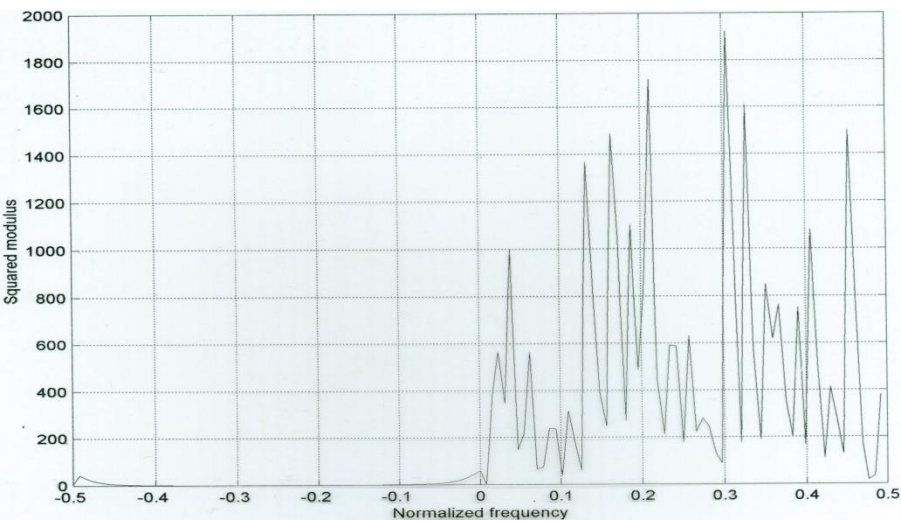
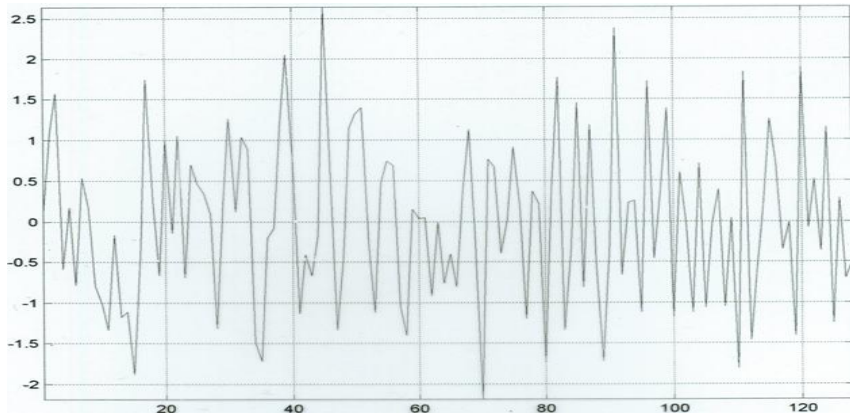
- Bertrand-Bertrand
 - Rioul-Flandrin
- dystribucja Q
- Eichmann-Marinovic
 - Altes
- szerokopasmowa
funkcja
nieoznaczoności

Inne metody:

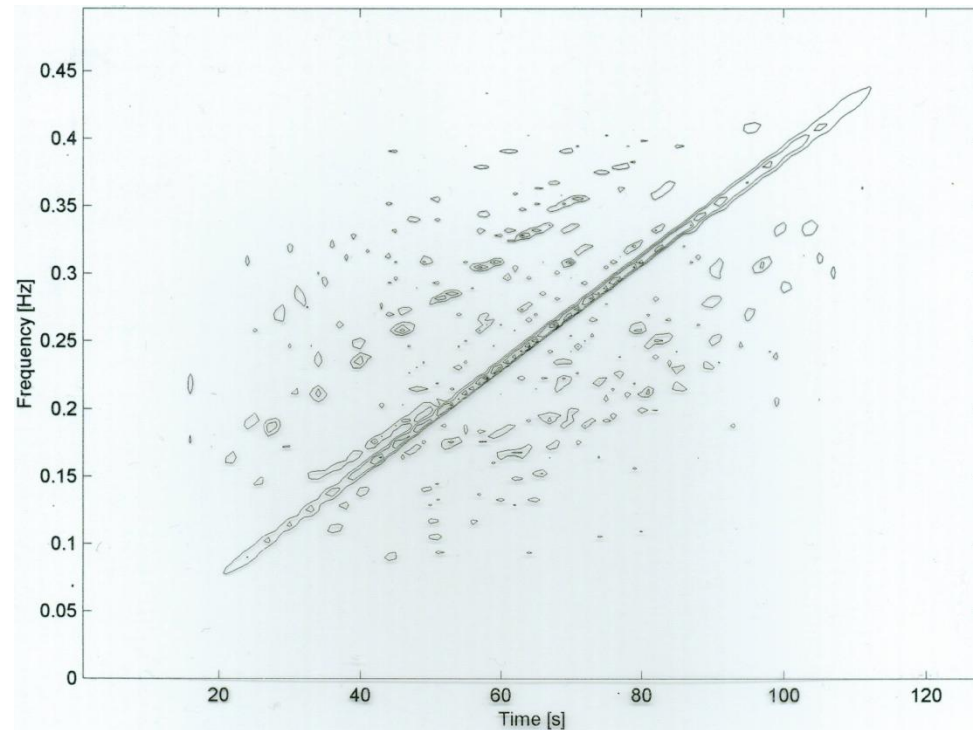
1. Tukey - zespolona
demodulacja [144]
2. Priestley - widmo
ewolucyjne [144]
3. Tjostheim - widmo
ewolucyjne [144]
4. Cohen-Posch - reprezentacje
dodatnie [52]

Efekty analiz czas-częstotliwość

- Zaszumiony sygnał z liniową modulacją częstotliwości



Transformata Wignera-Ville'a (prezentacja konturowa)



Syntetyczne podsumowanie – dekompozycja falkowa

Baza powstaje z falki matki:

$$\psi^{s,x}(t) = \frac{1}{\sqrt{|s|}} \psi\left(\frac{t-x}{s}\right), \quad s \neq 0$$

$$\int \psi(t) dt = 0 \quad \|\psi\| = 1 \quad \|\psi^{s,x}\| = 1$$

$$f(t) = \frac{1}{C_\psi} \int \frac{1}{\sqrt{|s|}} W_f(s, x) \psi\left(\frac{t-x}{s}\right) ds dx \quad \xrightarrow{\text{dyskretyzacja}} \quad f = \sum_{m,n \in \mathbf{Z}} c_{m,n}(f) \psi_{m,n}(t)$$

Postać transformaty falkowej przy dyskretyzacji dziedziny przesunięcia x i skali s :

$s = s_0^m$, $x = nx_0 s_0^m$, gdzie $m, n \in \mathbf{Z}$, dla funkcji (sygnału) f , co daje

$$\psi_{m,n}(t) = s_0^{-m/2} \psi(s_0^{-m} t - nx_0)$$

kładąc $s_0 = 2$, $x_0 = 1$ tworzymy rozwinięcia w bazach ortonormalnych.

Podsumowanie – aproksymacja wieloskalowa sygnałów

$\phi(t)$ - funkcja skalująca, analogicznie mamy $\phi_{m,n}(t) = 2^{-m/2} \phi(2^{-m}t - n)$

Dekompozycja f :

$$f(t) = \sum_{m,n \in \mathbf{Z}} \langle f, \psi_{m,n} \rangle \psi_{m,n}(t) = \sum_{n \in \mathbf{Z}} \langle f, \phi_{m,n} \rangle \phi_{m,n}(t) + \sum_{k \leq m, n \in \mathbf{Z}} \langle f, \psi_{k,n} \rangle \psi_{k,n}(t)$$

Sposób obliczania współczynników transformaty jest następujący:

$$a_{m,n}(f) = \sum_k h_{k-2n} a_{m-1,k}(f)$$

współczynniki skalujące

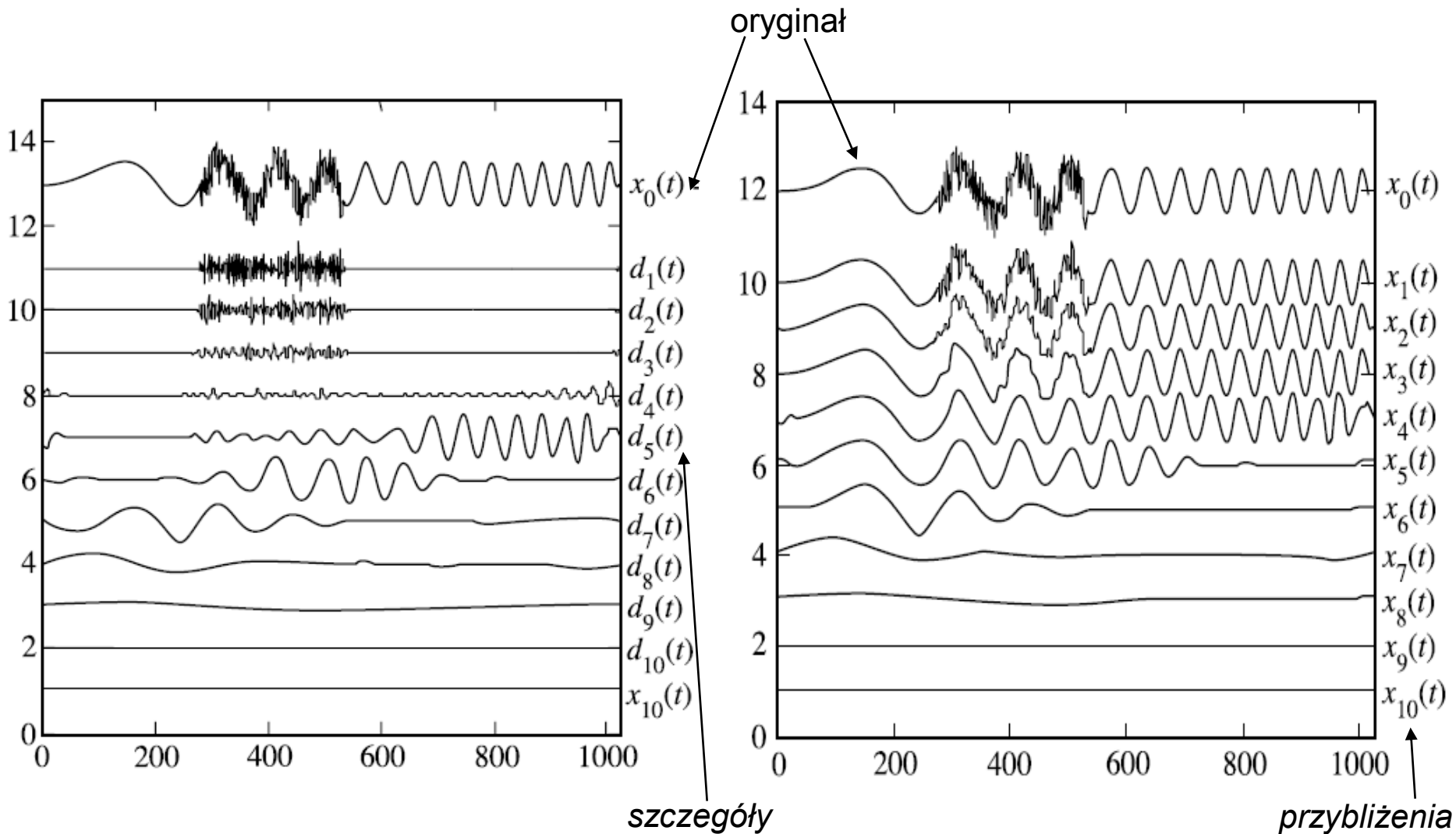
$$c_{m,n}(f) = \sum_k g_{k-2n} a_{m-1,k}(f)$$

współczynniki falkowe

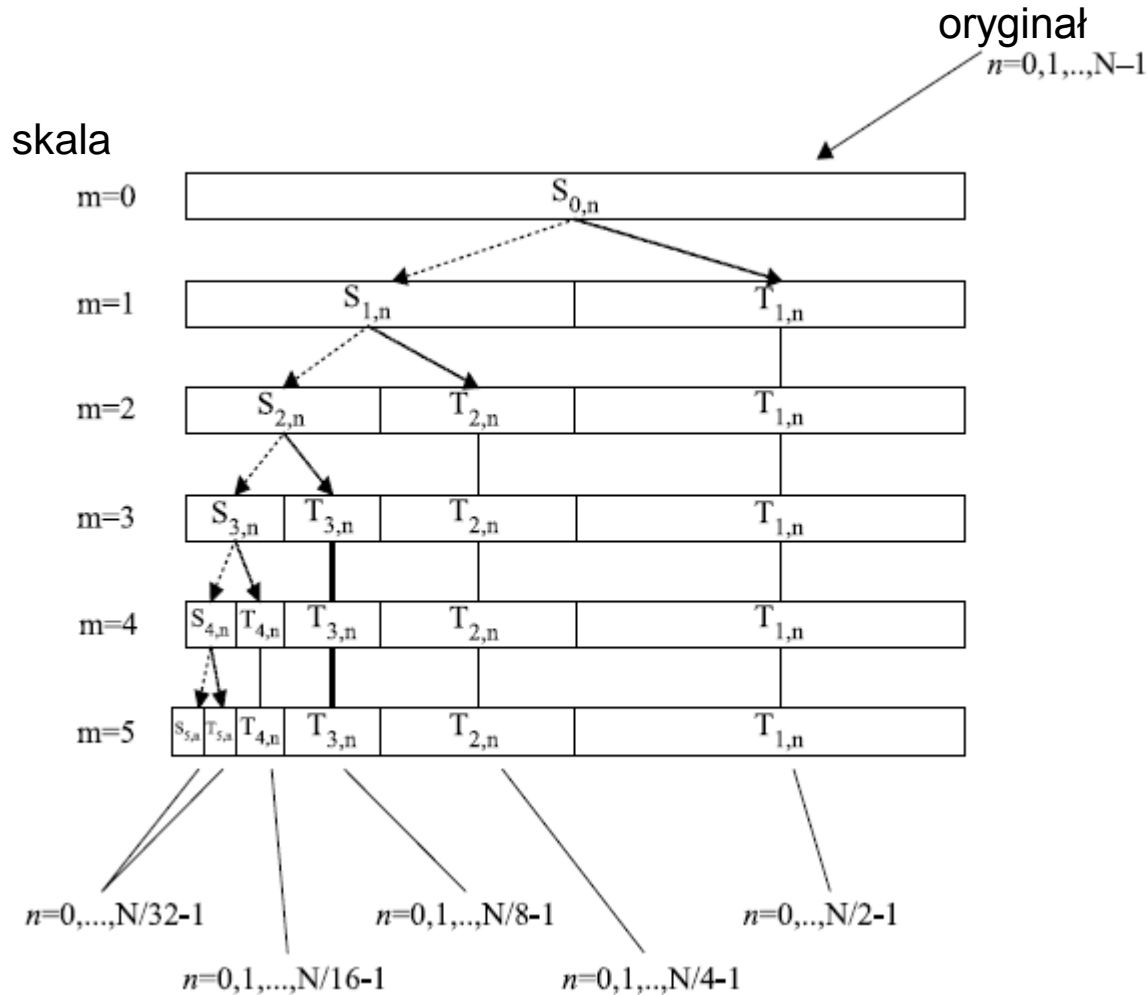
Rekonstrukcja:

$$a_{m-1,n}(f) = \sum_k [h_{n-2k} a_{m,k}(f) + g_{n-2k} c_{m,k}(f)]$$

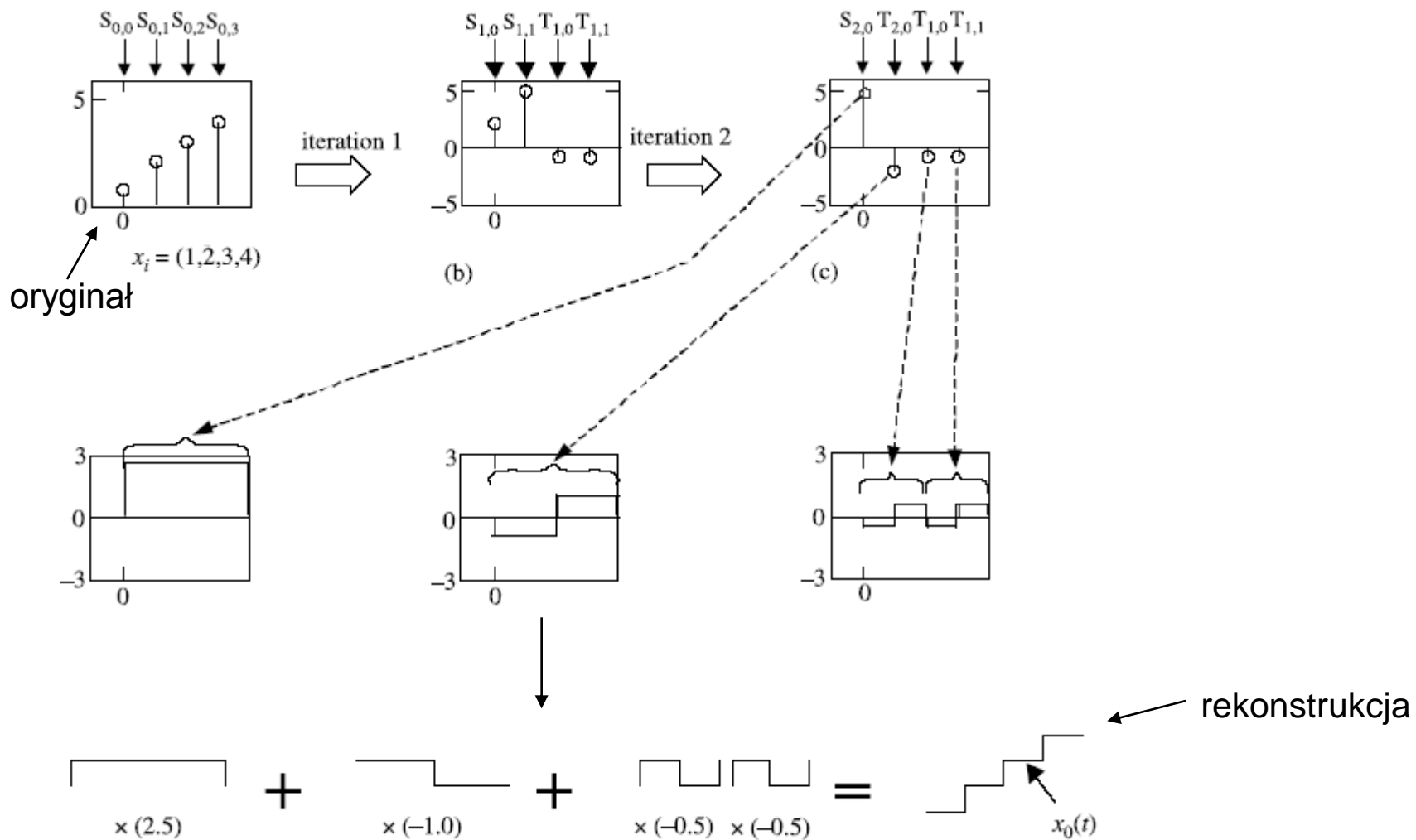
Dekompozycja (analiza) sygnału



Rozkład pasm w dekompozycji



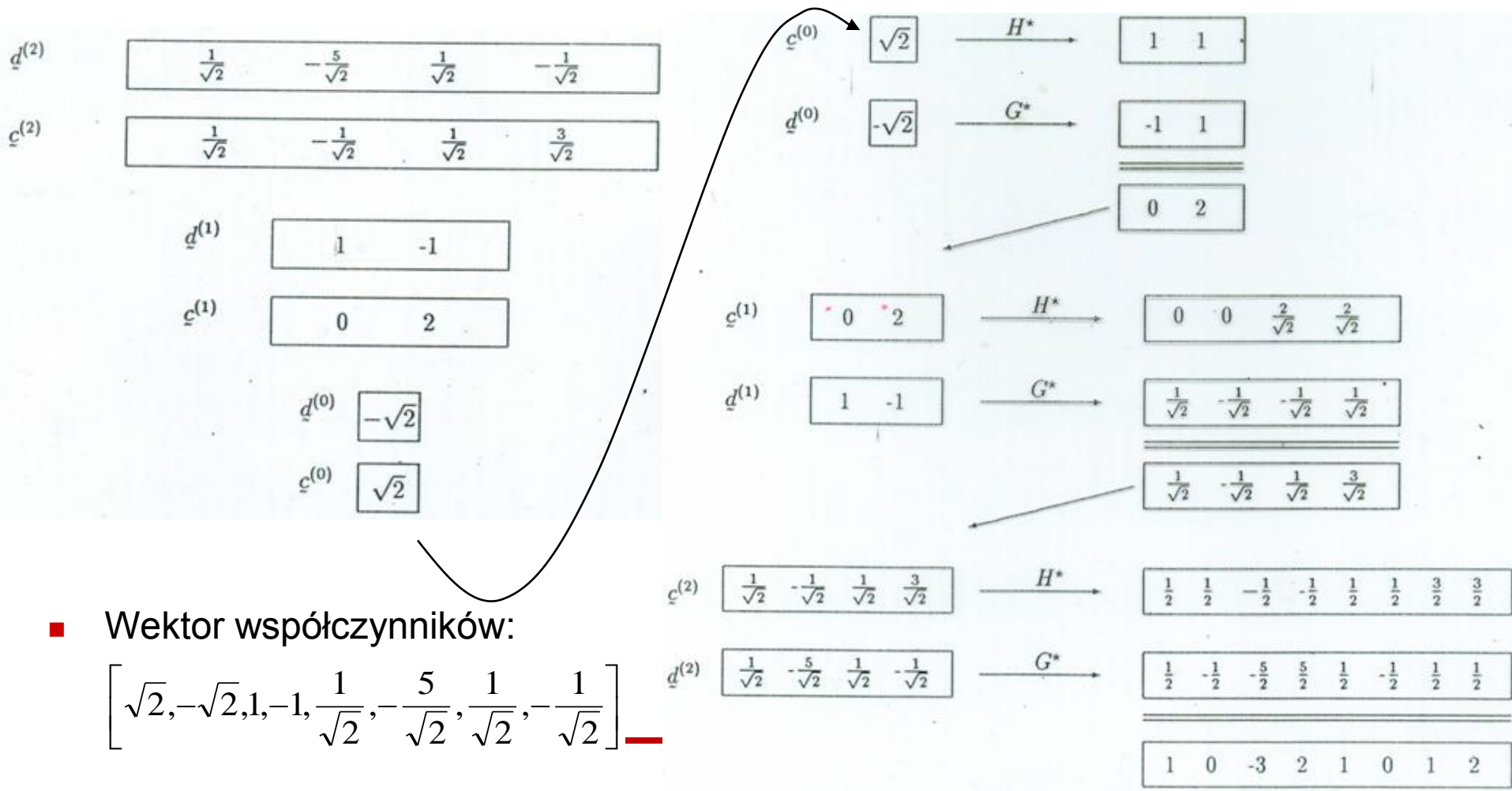
Analiza i synteza sygnału (falki Haara)



Falkowe liczenie

- Wektor danych wejściowych: $[1, 0, -3, 2, 1, 0, 1, 2]$

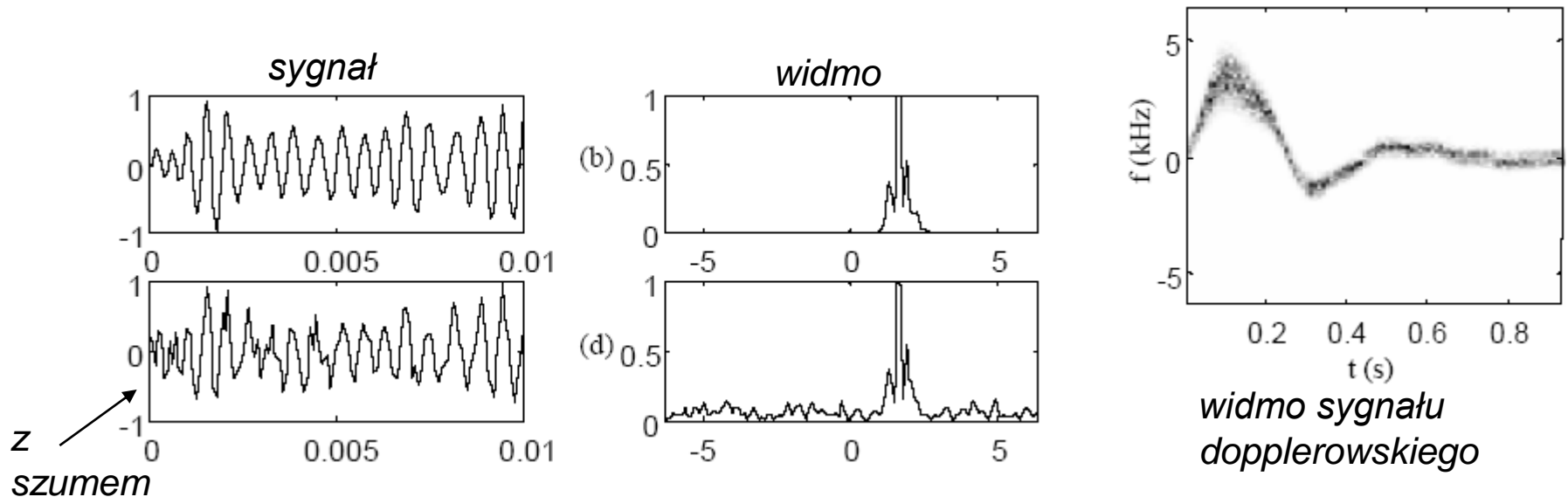
- Filtry Haara: $h_{Haar} = \left[\frac{1}{\sqrt{2}}, \frac{1}{\sqrt{2}} \right]$ $g_{Haar} = \left[\frac{1}{\sqrt{2}}, -\frac{1}{\sqrt{2}} \right]$



- Wektor współczynników:

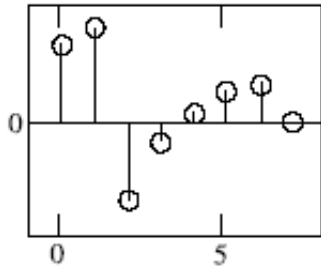
PROSTE ZASTOSOWANIA

Przykład docierania do sygnału (dopplerowskiego)

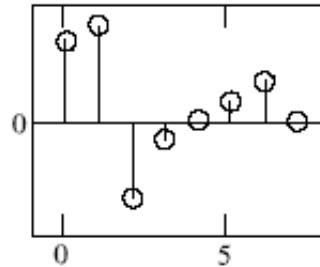


- odszumianie: wydobywanie sygnału zagnieżdżonego w szumie informacyjnym, czyli estymacja sygnału użytecznego
- ważne są lokalne zmiany, szczegóły
- metoda: maksymalne rozdzielenie sygnału i szumu (zwykle w nowej dziedzinie) + selekcja (najprościej progowanie)

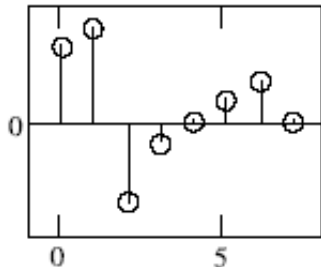
Rekonstrukcja z progowaniem



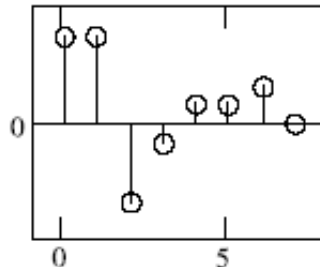
(a) (2,475,0,354,7,000,-0,500,-0,070,-2,121,-0,707,1,414)



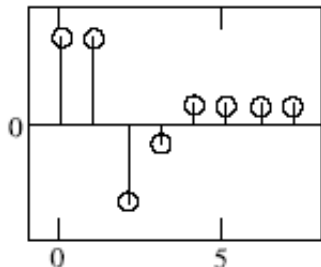
(b) (2,475,0,7,000,-0,500,-0,707,-2,121,-0,707,1,414)



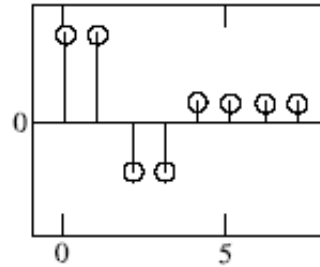
(c) (2,475,0,7,000,0,-0,707,-2,121,-0,707,1,414)



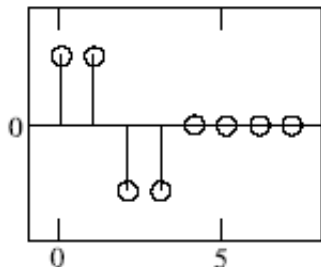
(d) (2,475,0,7,000,0,0,-2,121,0,1,414)



(e) (2,475,0,7,000,0,0,-2,121,0,0)



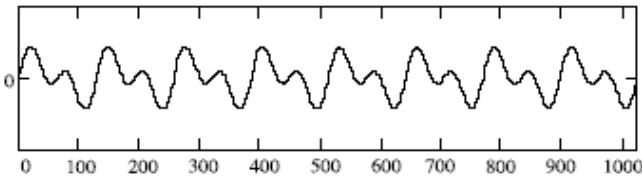
(f) (2,475,0,7,000,0,0,0,0)



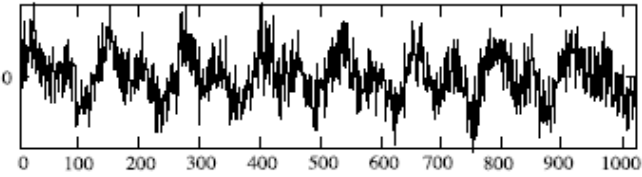
(g) (0,0,7,000,0,0,0,0)

odtworzenie sygnału na podstawie zerowanych współczynników falkowych i skalujących

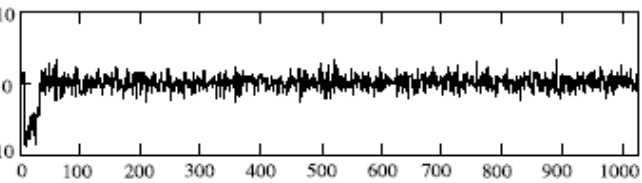
Odszumianie sygnału



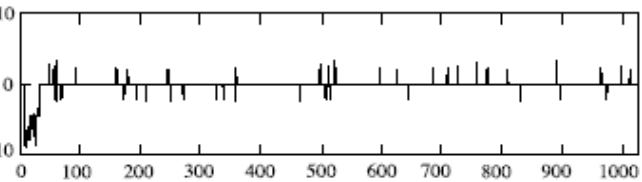
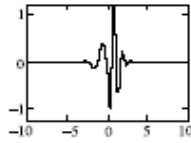
sygnał



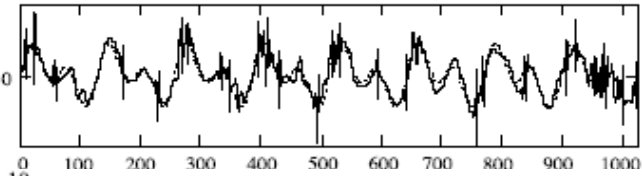
sygnał z szumem



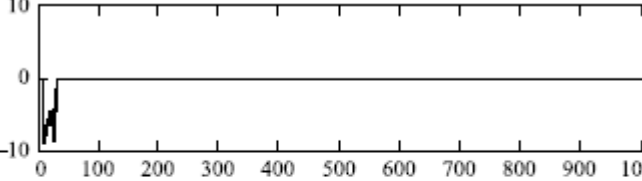
współczynniki bazy



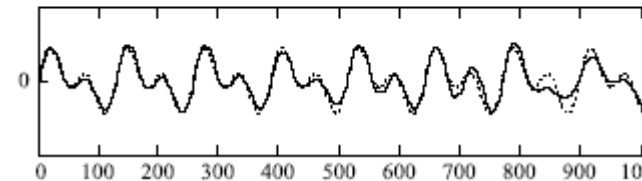
twarde prog. (2)



rekonstrukcja

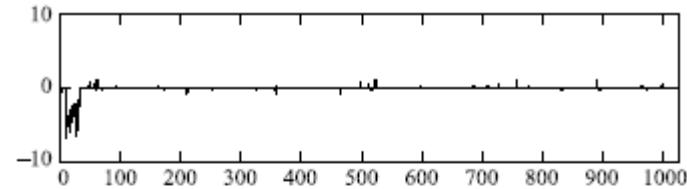


twarde prog. (4)

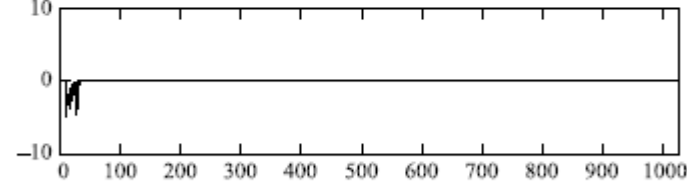
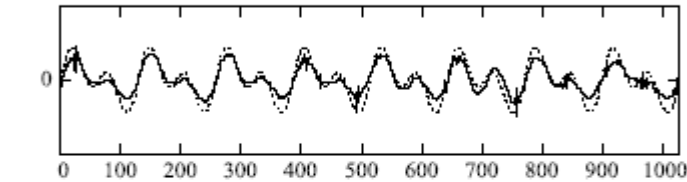


rekonstrukcja

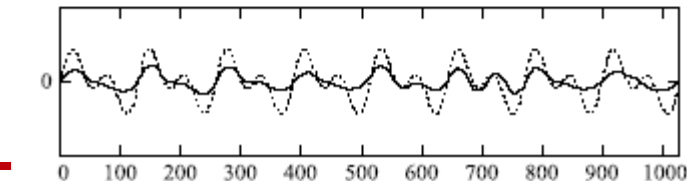
Różne metody progowania



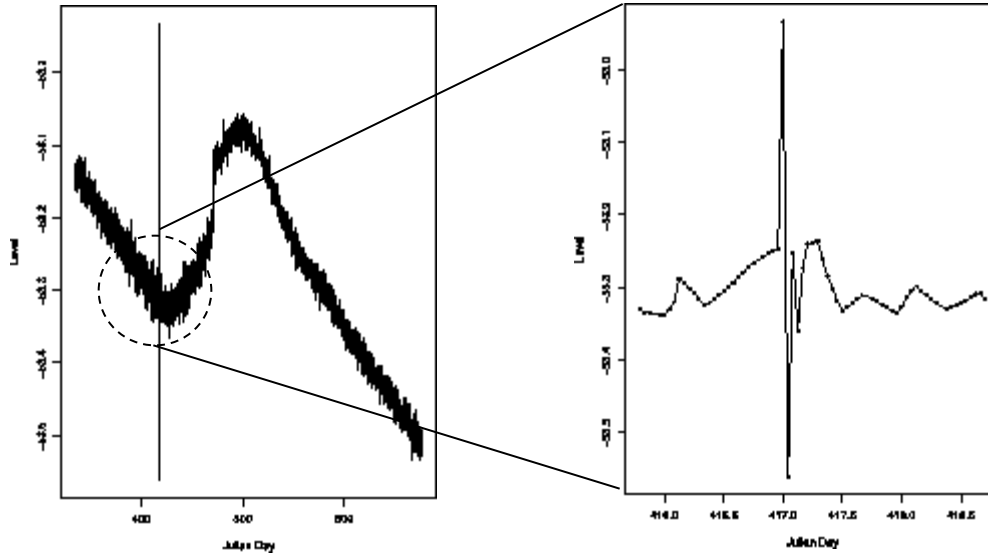
miękkie prog. (2)



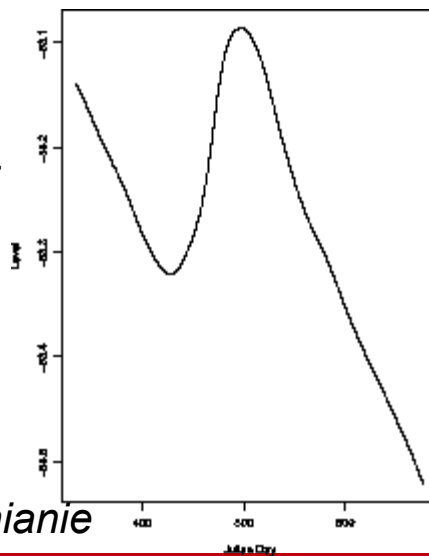
miękkie prog. (4)



Gubienie szczegółów

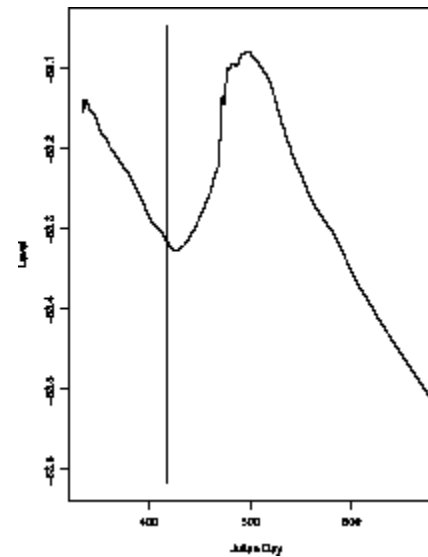


sygnał



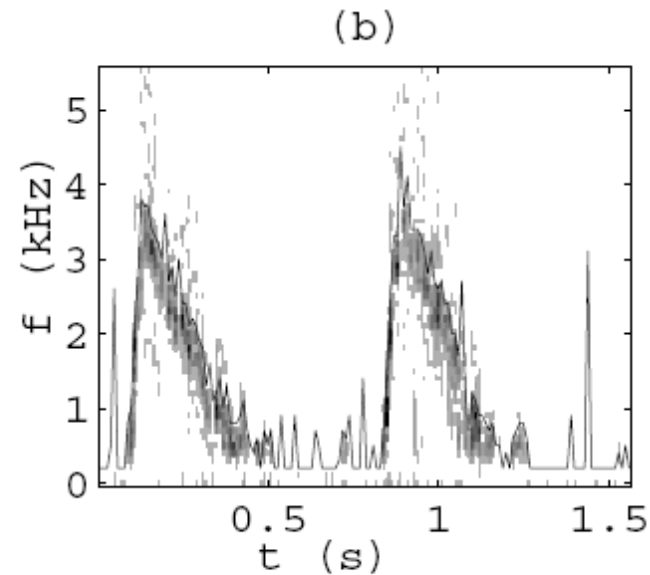
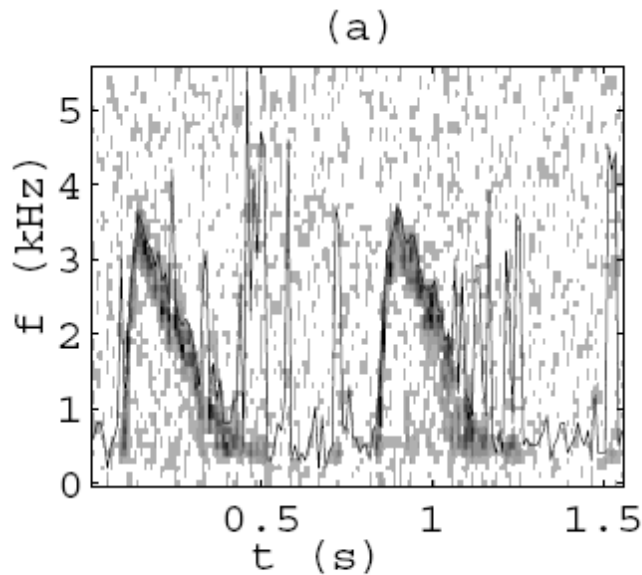
odszumiony sygnał

proste uśrednianie



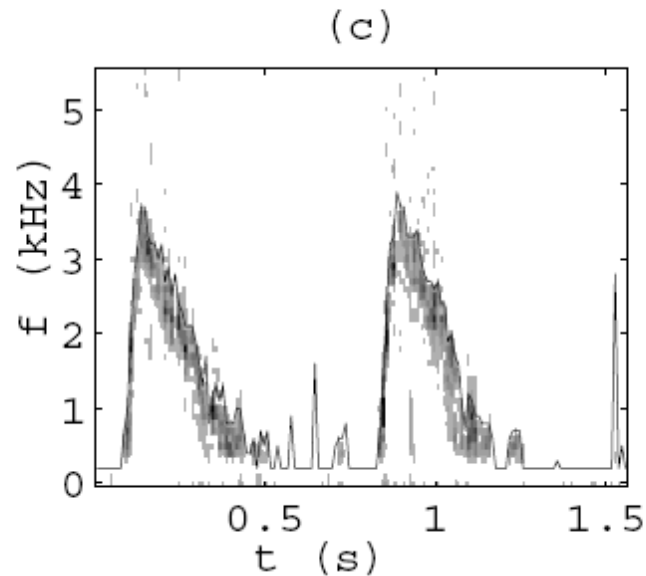
odsz. falkowe

Odszumianie dopplera



spektrogram sygnału
oryginalnego

po odszumieniu (falka
rzędu 8)

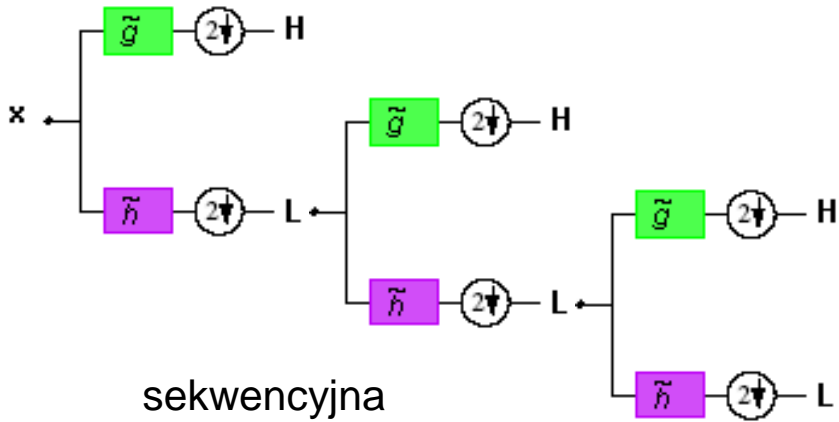


po odszumieniu (falka
rzędu 4)

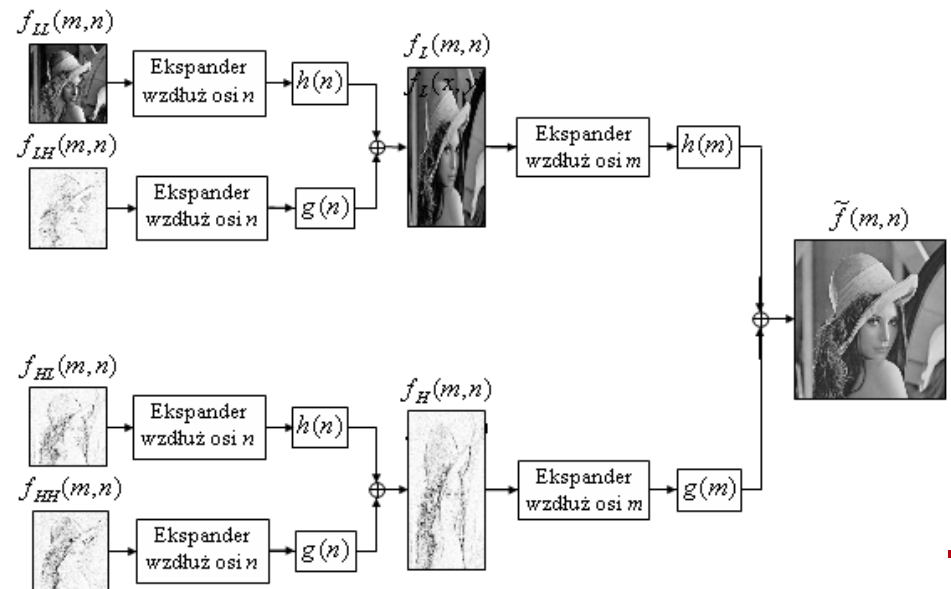
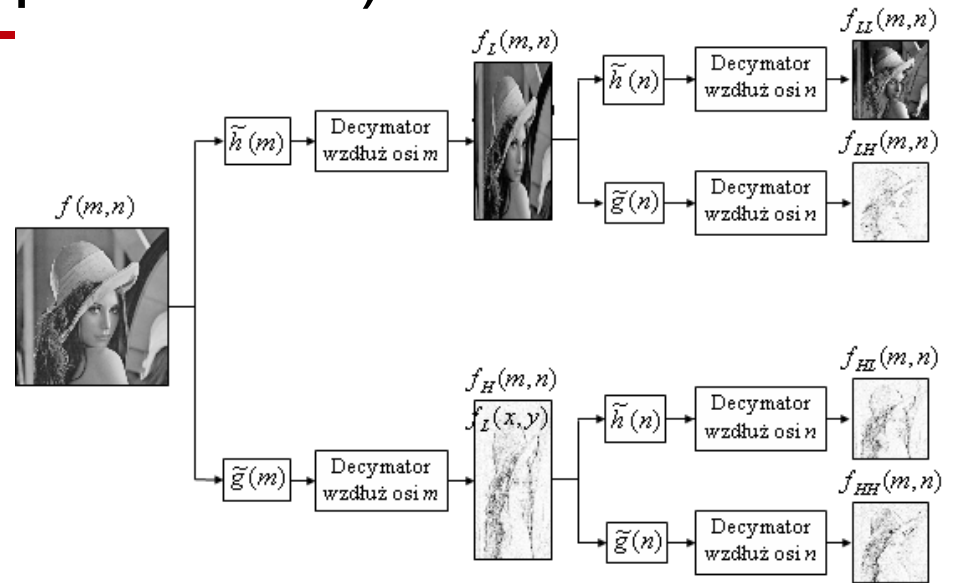


FALKOWA DEKOMPOZYCJA OBRAZÓW

Falkowa dekompozycja obrazów (jądro separowalne)

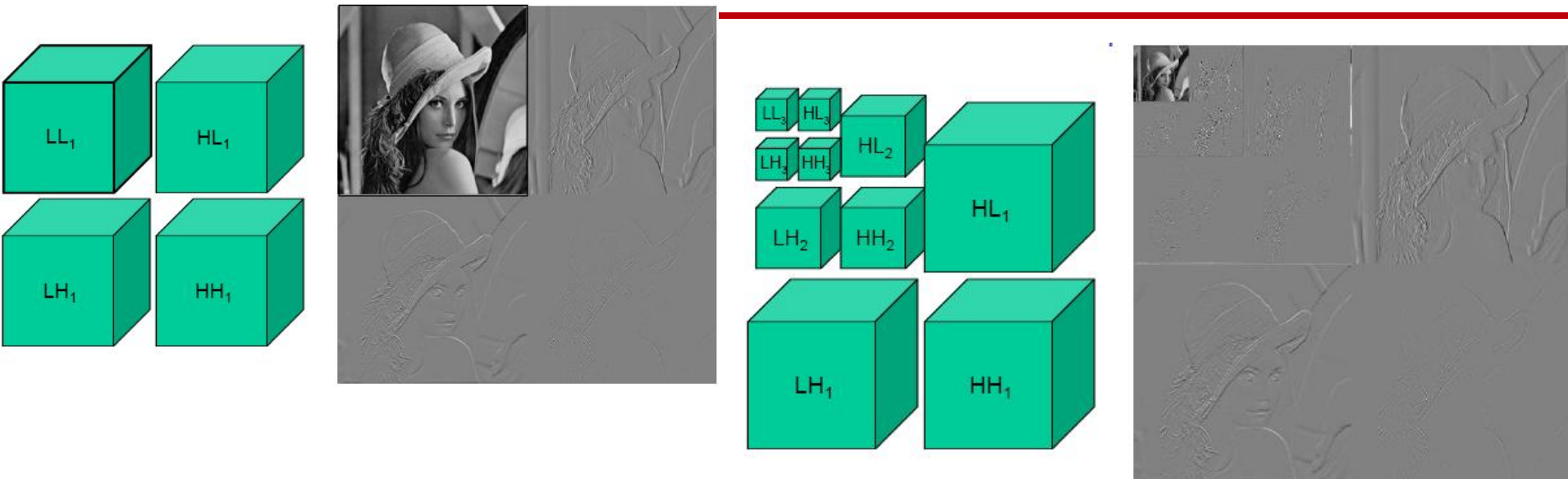


sekwencyjna
filtracja z
podpróbkowaniem

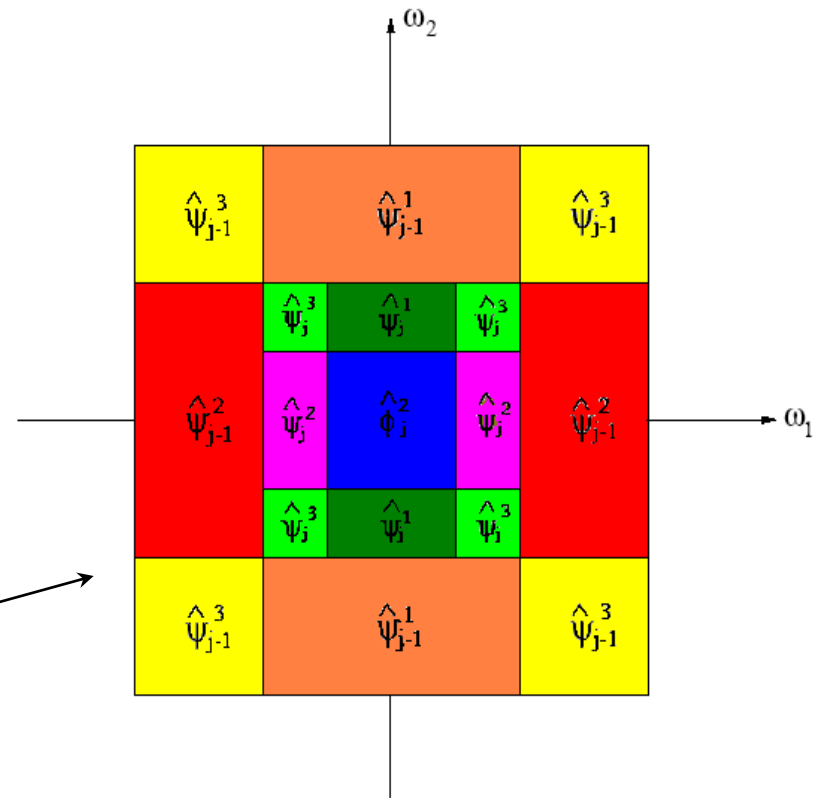
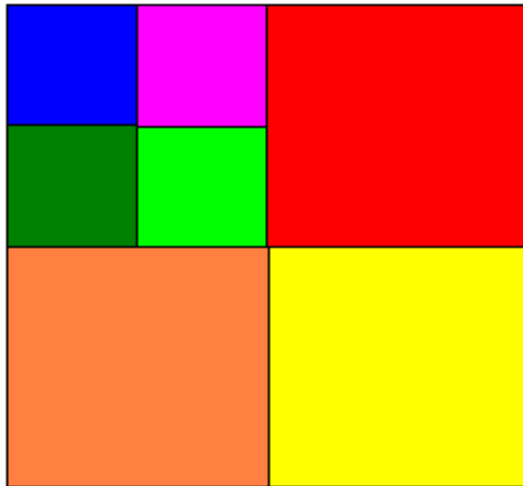
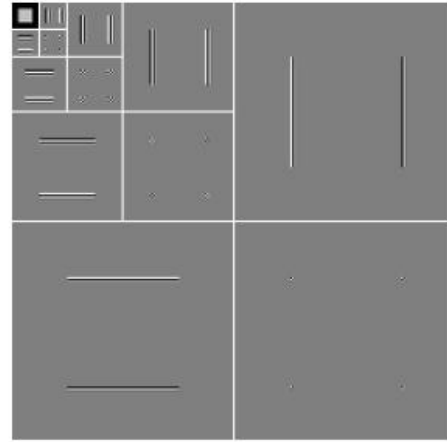
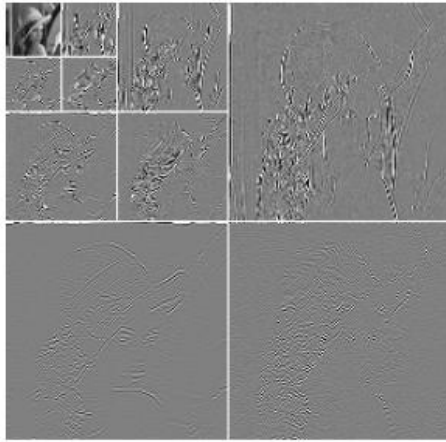


Dekompozycja falkowa

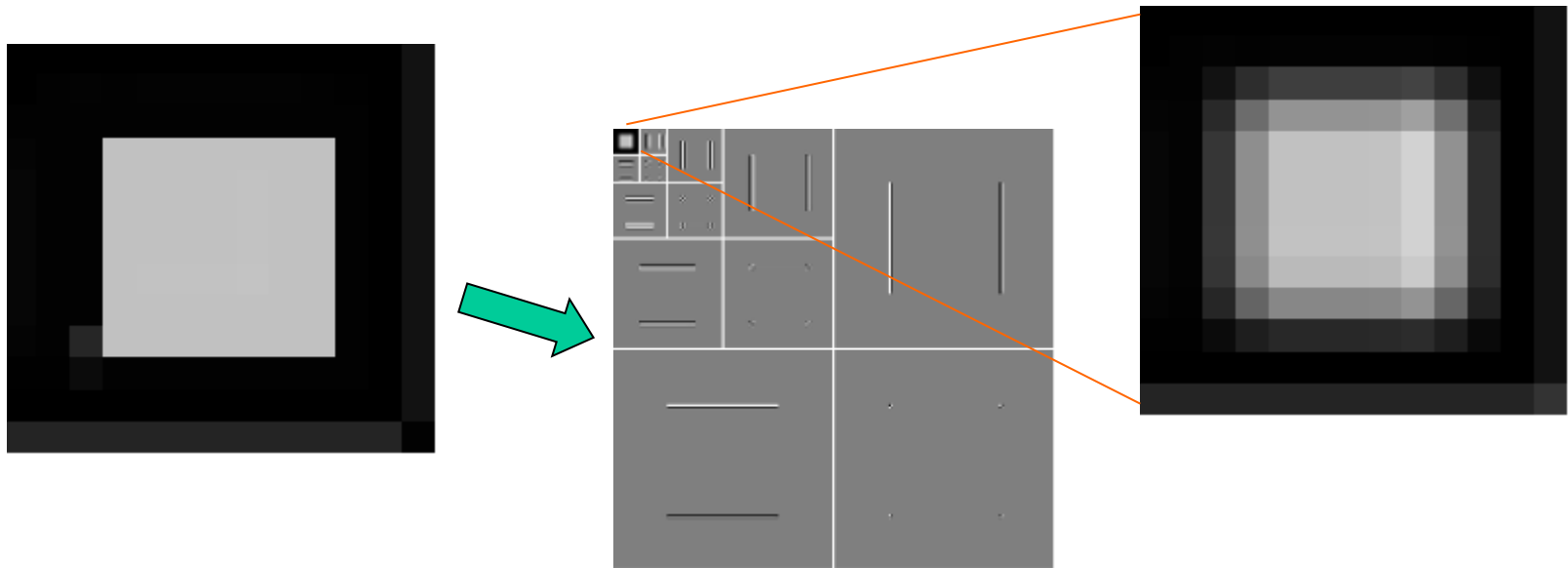
(schemat diadyczny, z separowanym jądrem)



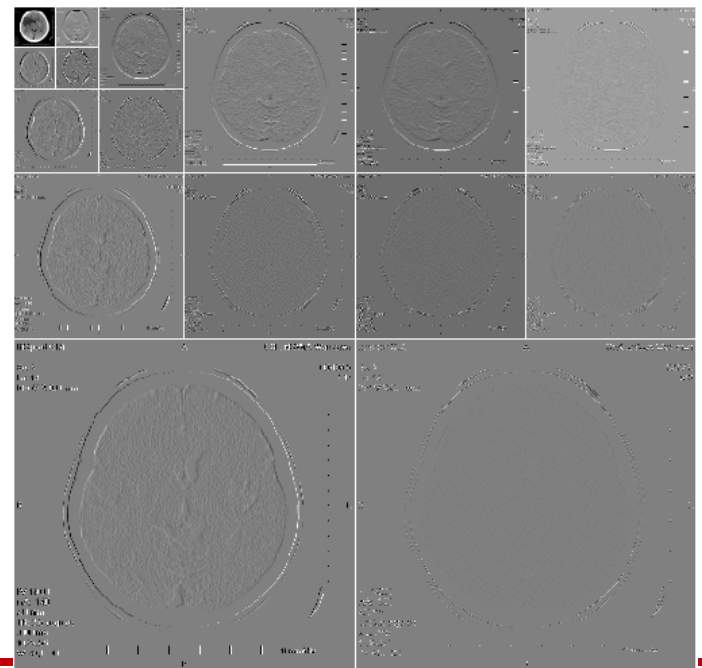
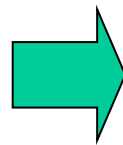
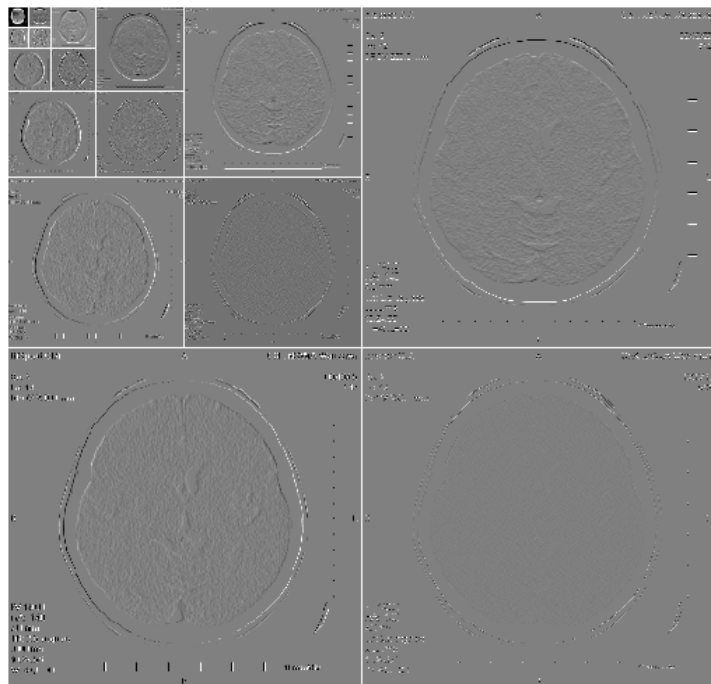
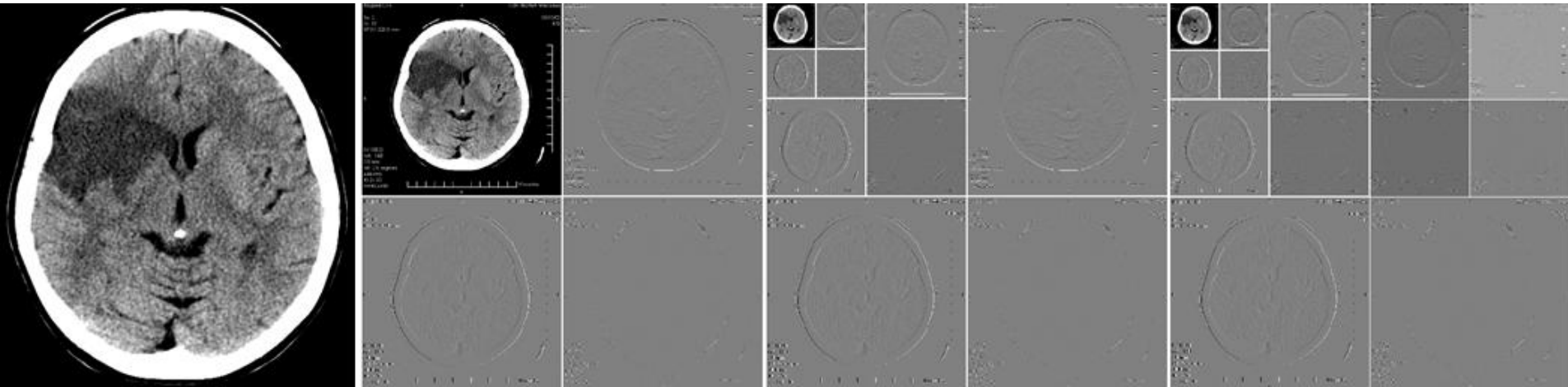
Falkowa dekompozycja obrazów



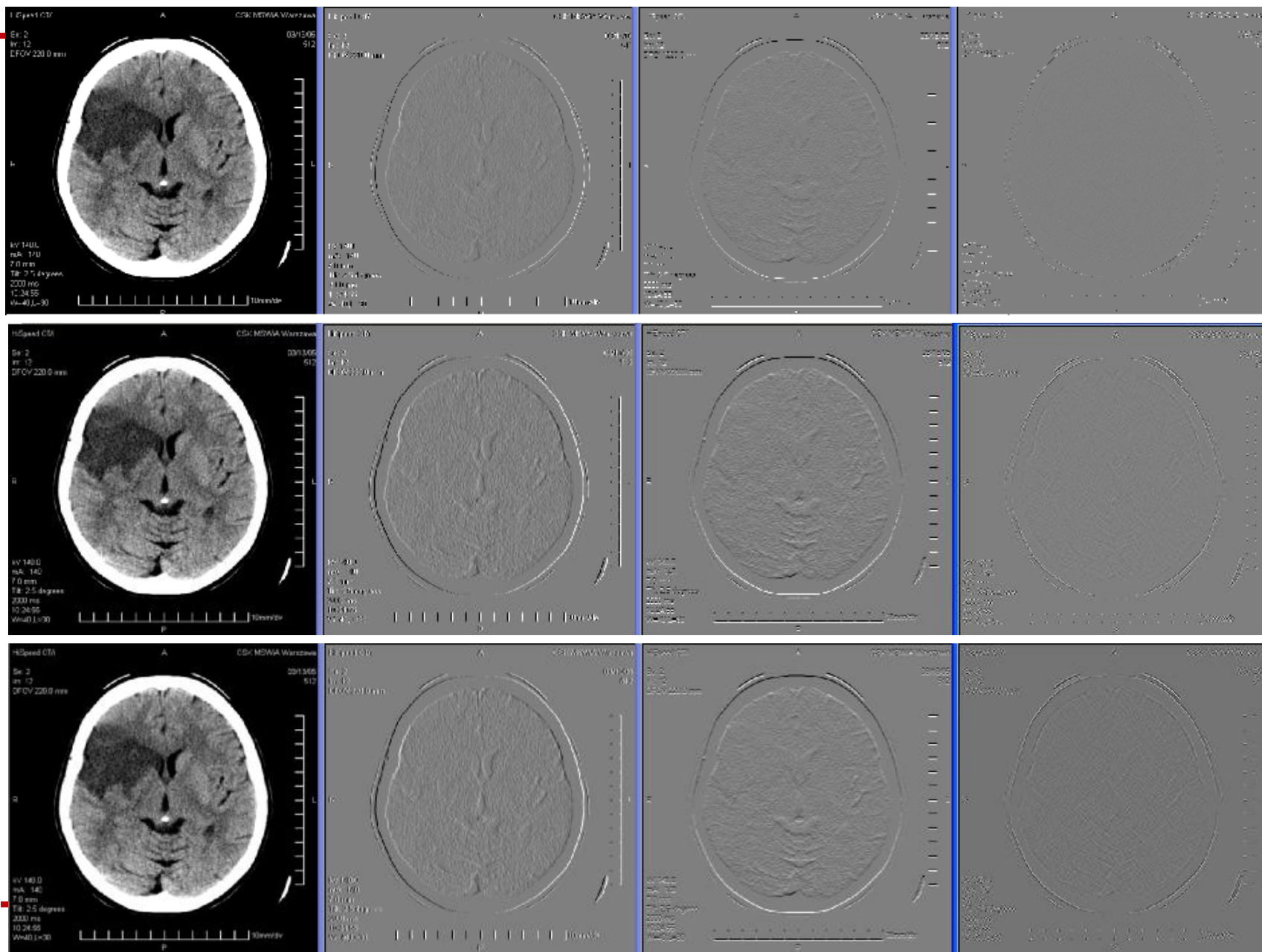
Korzyść ze stosowania transformacji falkowej



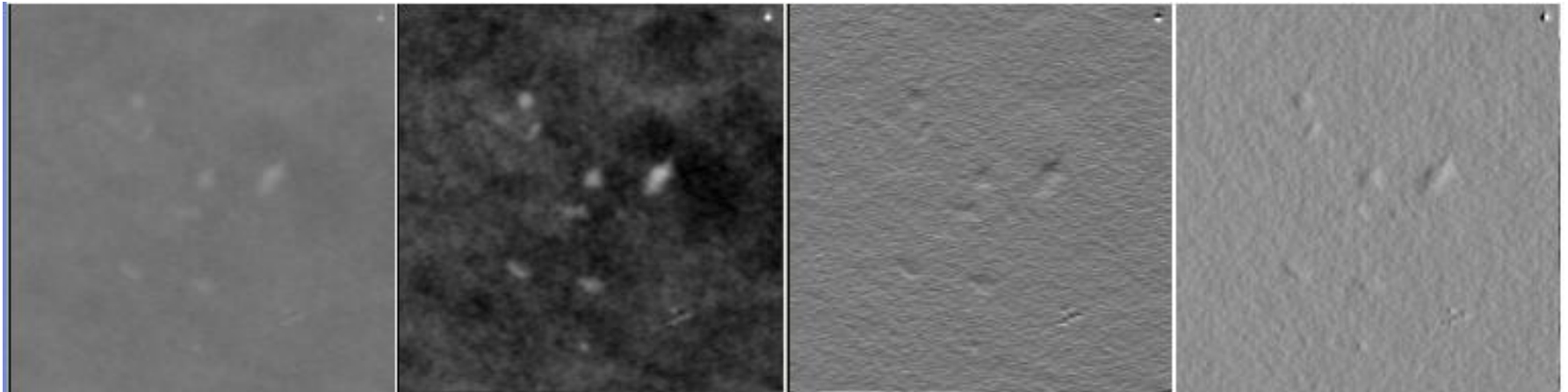
Pakiety falek



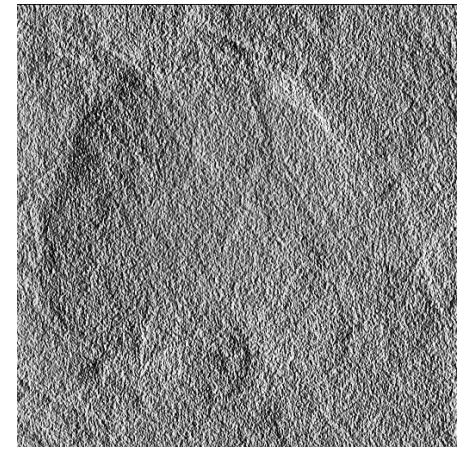
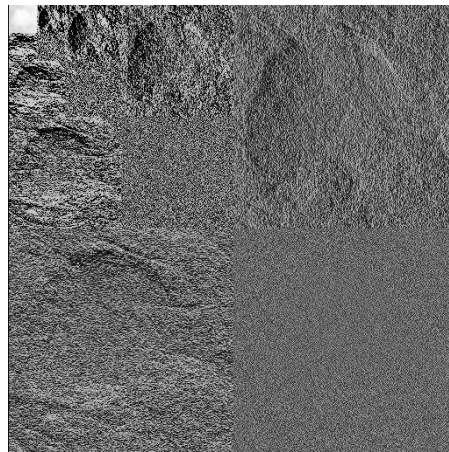
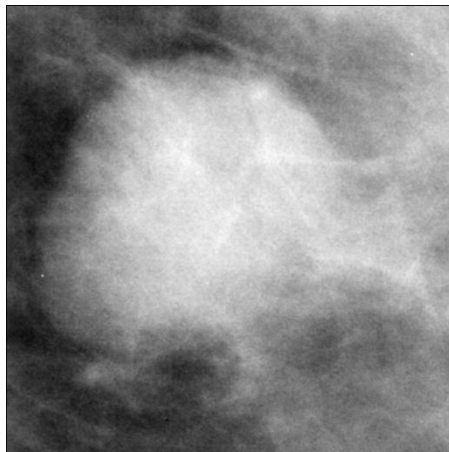
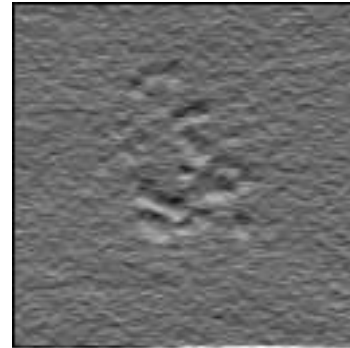
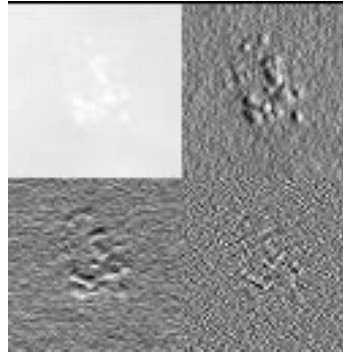
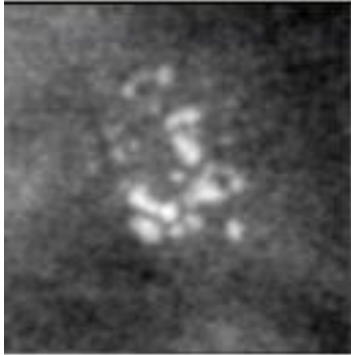
Falki bez decymacji



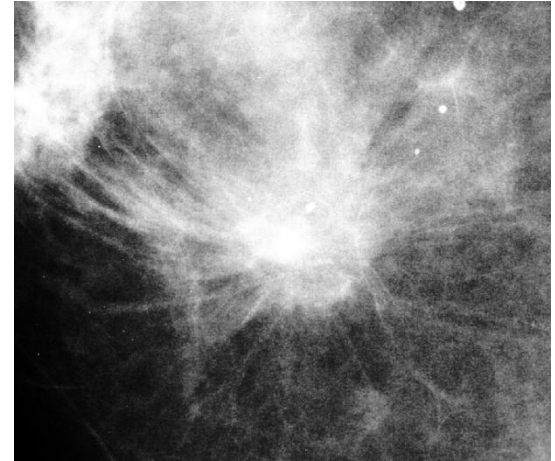
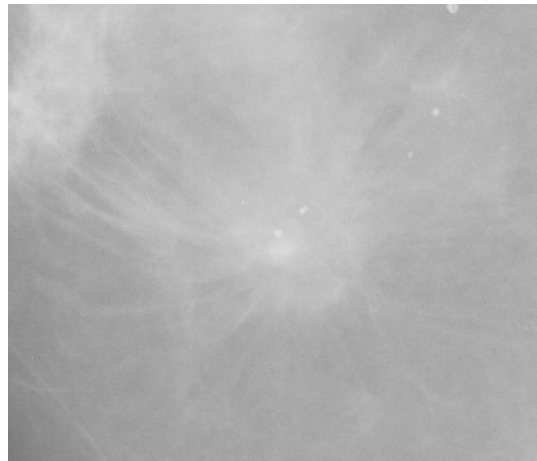
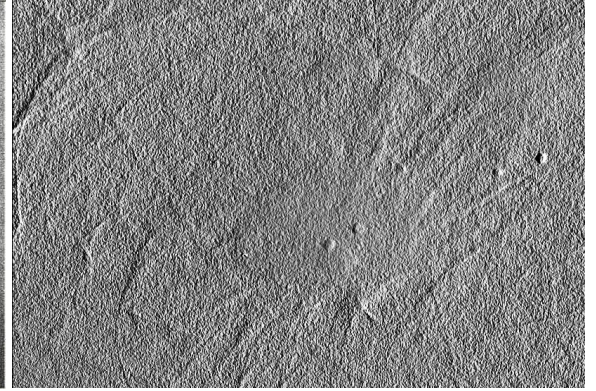
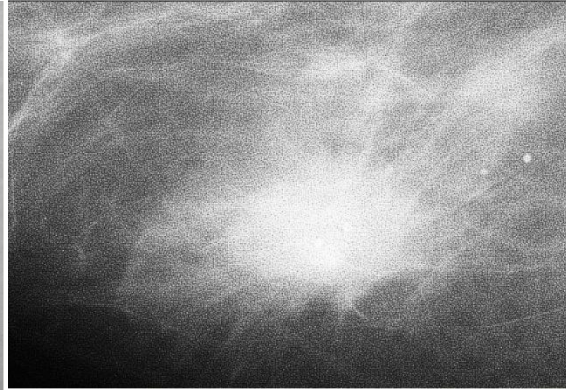
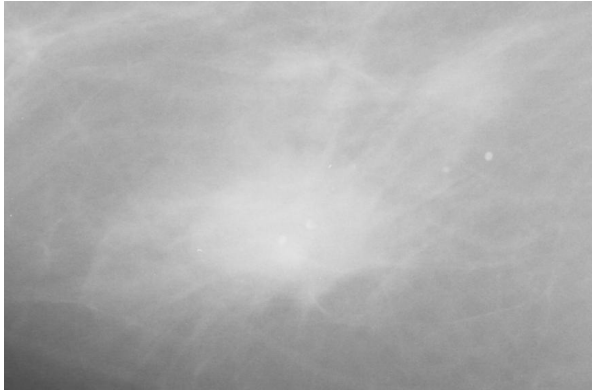
Falkowe mikrozwapnienia bez decymacji



Modele



Modele2



Rodzina falek w reprezentacji obrazów – doskonalenie reprezentacji

■ Falki tensorowe

- Złożenie przekształceń 1W po wierszach i kolumnach
- Pakiety falek
- Bazy nadmiarowe

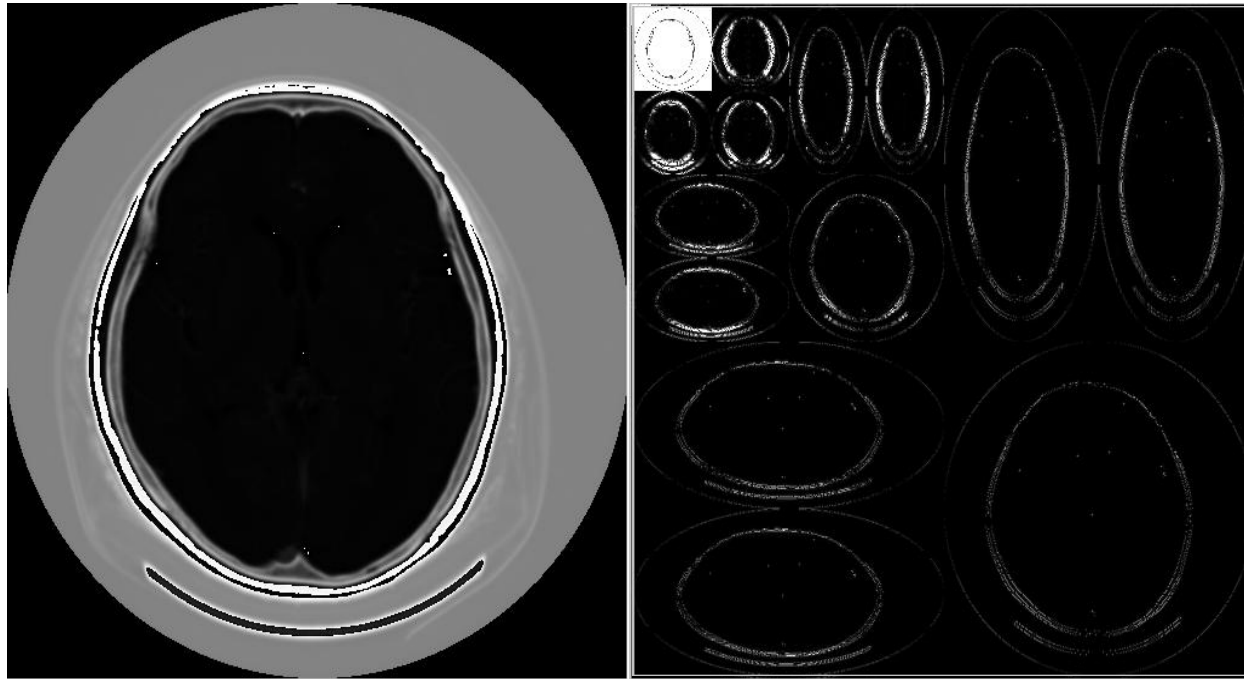
■ Falki geometryczne

- Wedgelety, czyli kliniki
- Beamlety, czyli belecзки

■ Falki kierunkowe

- Ridgelety, czyli grzbieciki
 - Curvelety, czyli krzywki
 - Contourlety , czyli konturki
-

FALKI DOBRZE OPISUJĄ KRAWĘDZIE ???

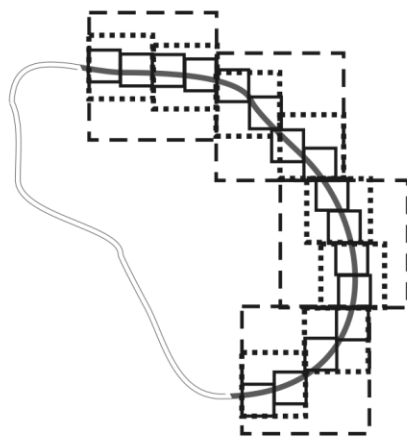


$$f \in L^2(\mathbf{R}^2)$$

Przy transformacji 2W z separowalnym jądrem (1W1W) dobrze reprezentowane są **jedynie punkty osobliwe**, a **nie linie czy krzywe (czyli kontury)**

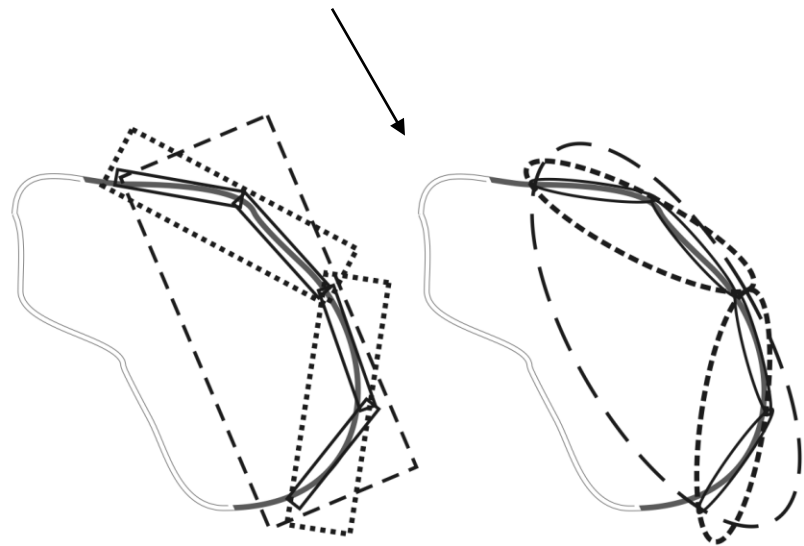
OGRANICZENIA FALEK 1W1W

Nie można określić gładkości krawędzi



falki 1W1W
(tensorowe)

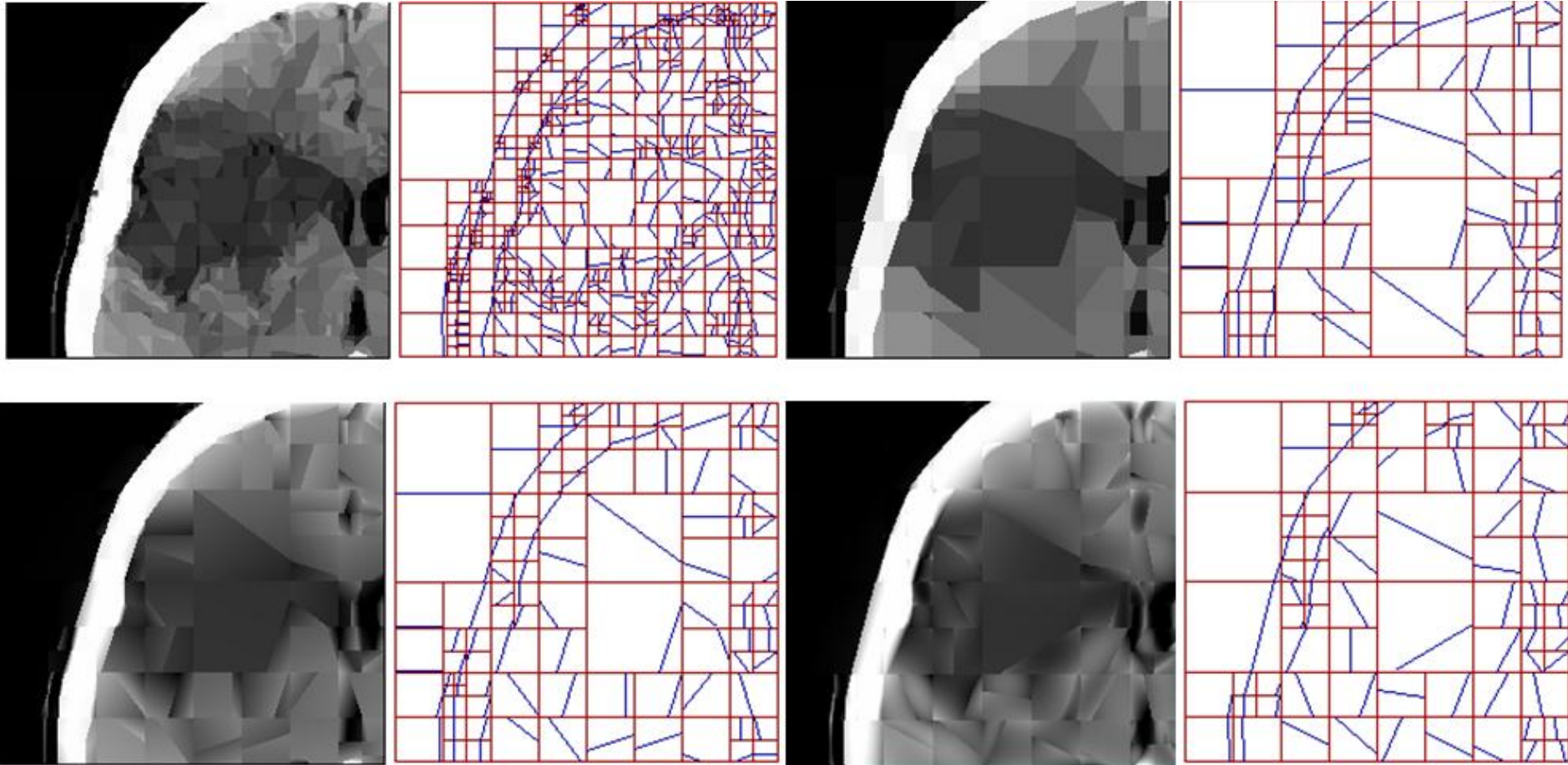
*Lepsze wpasowanie w krawędź,
charakterystyka gładkości*



falki 2W
(contourlety, curvelety)

*Oprócz położenia i skali dochodzi argument: **orientacja***

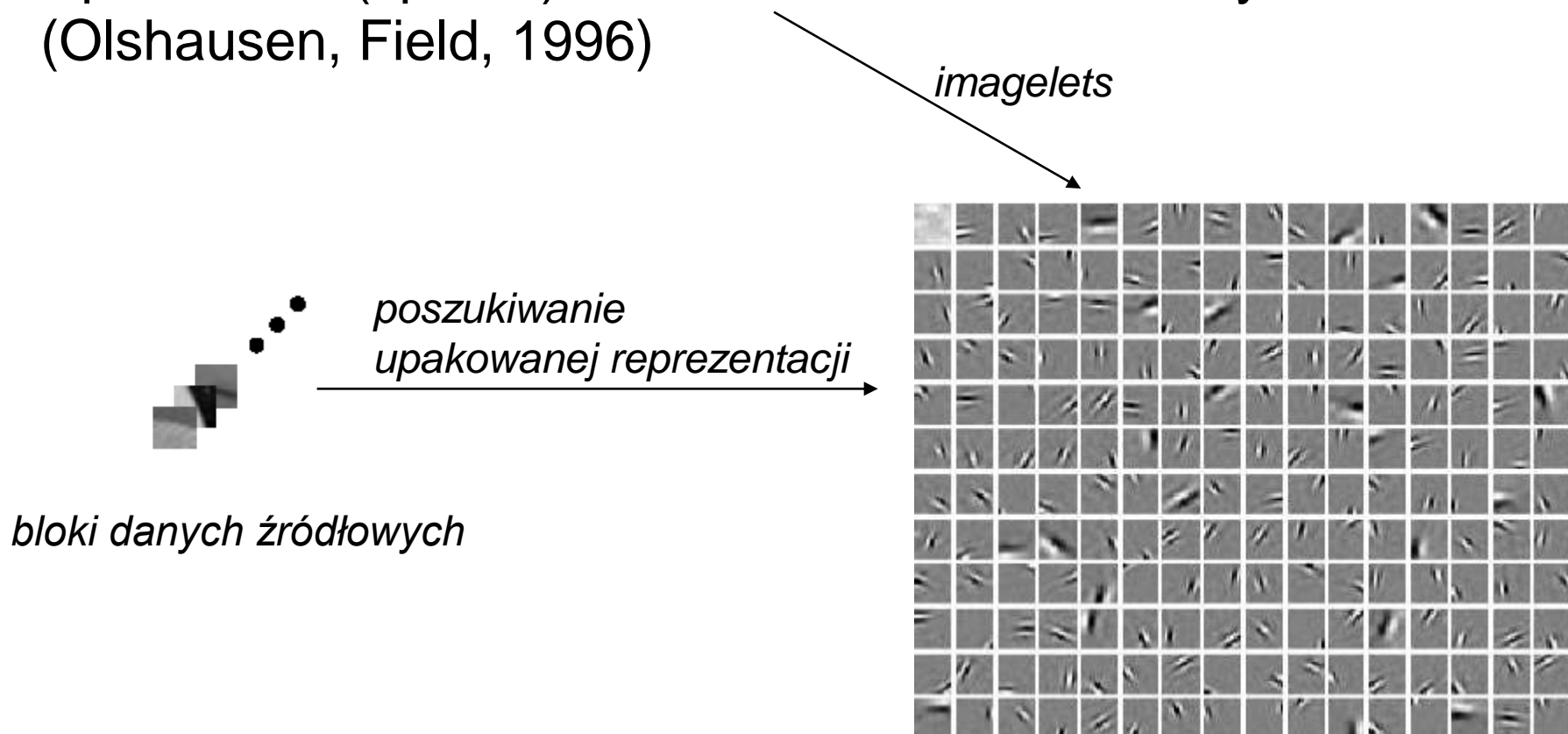
Aproksymacja wedgeletowa



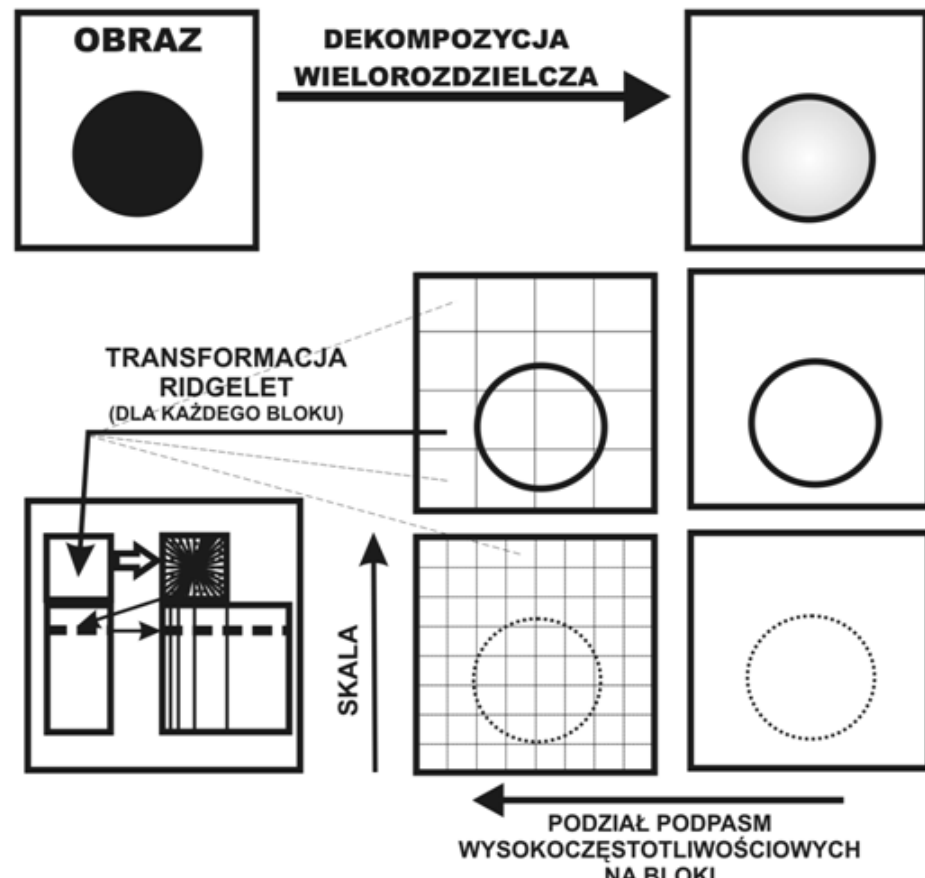
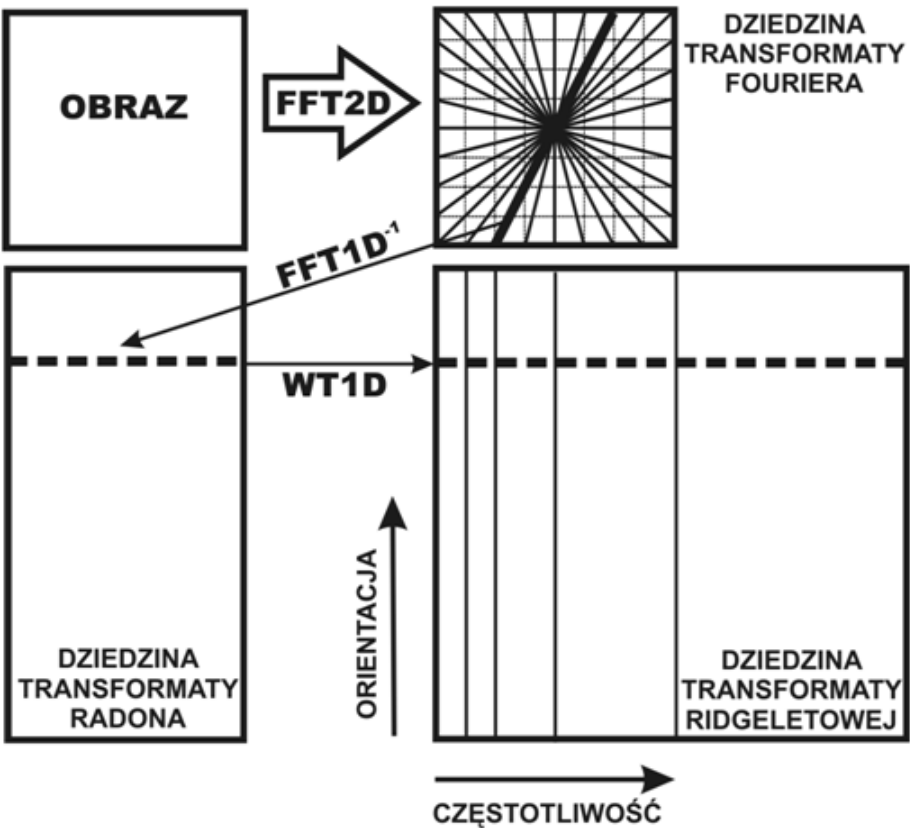
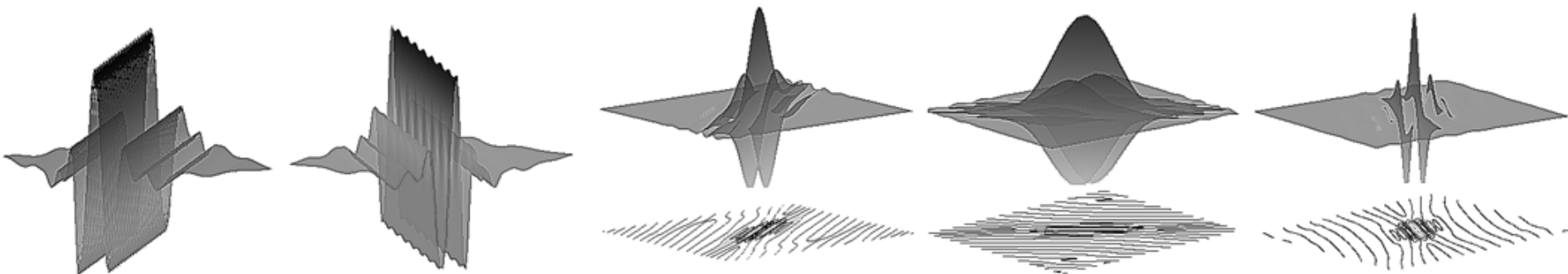
PROSTA OBSERWACJA

Ludzki system widzenia (HVS): bardzo efektywny, szybki, a receptory dostarczają informacji o położeniu, skali i orientacji

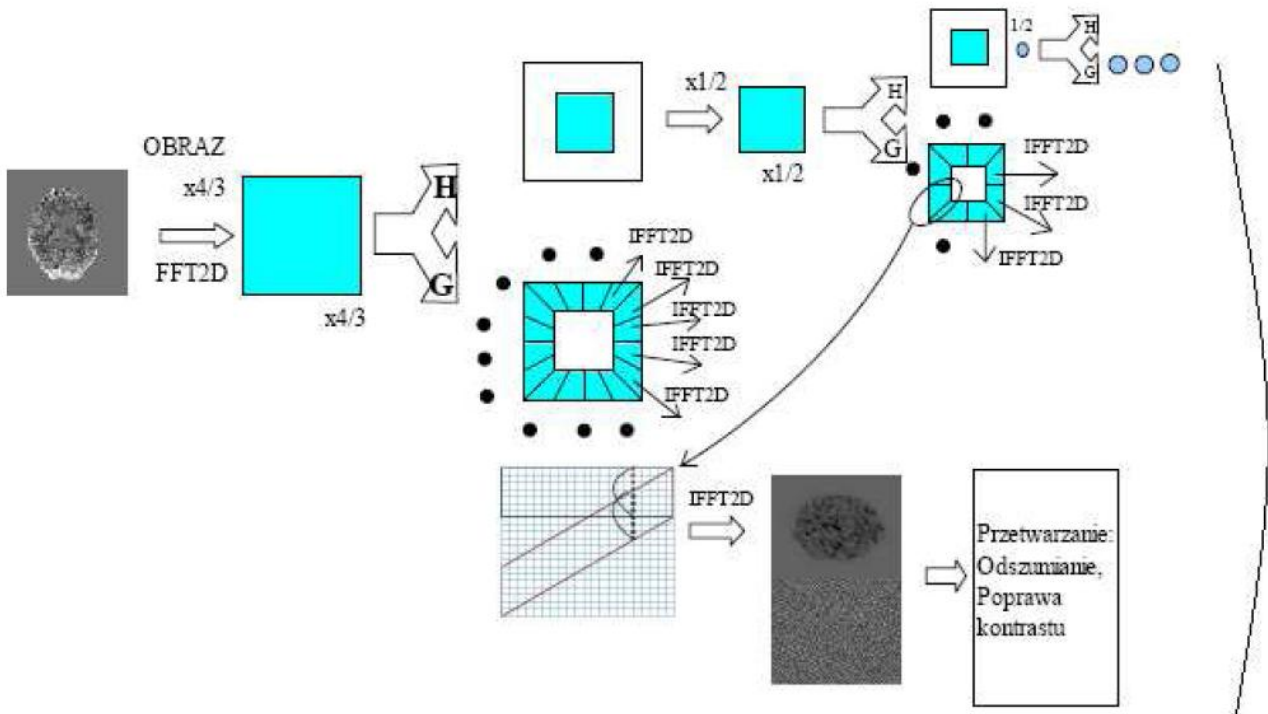
Upakowane (sparse) składniki obrazów naturalnych (Olshausen, Field, 1996)



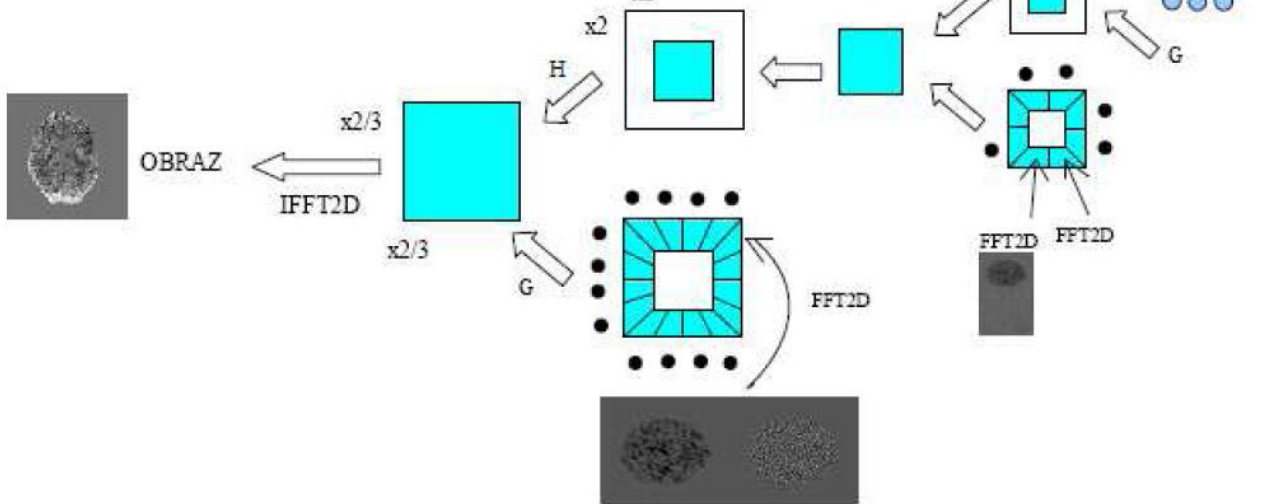
Curvelety



ANALIZA

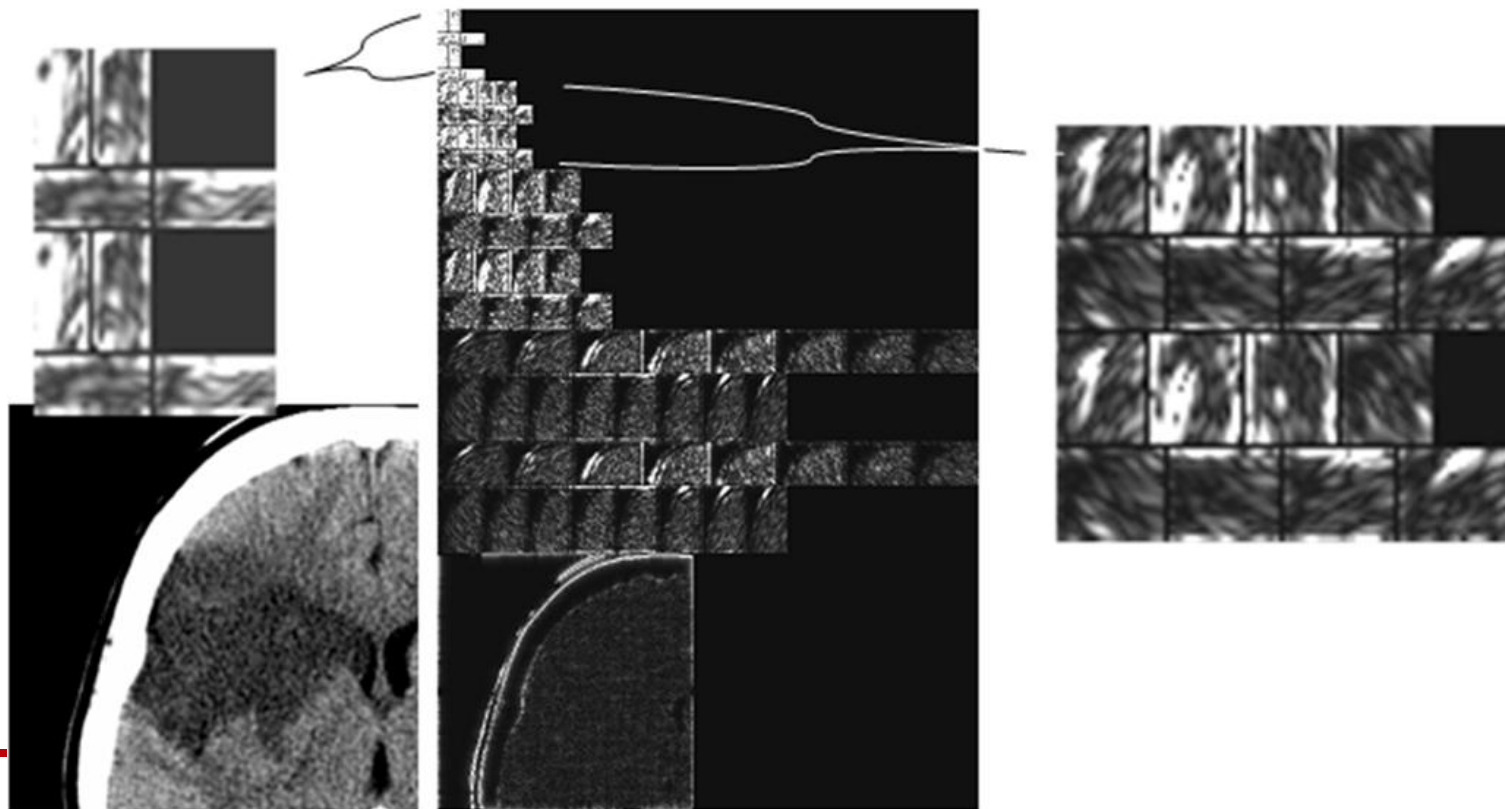
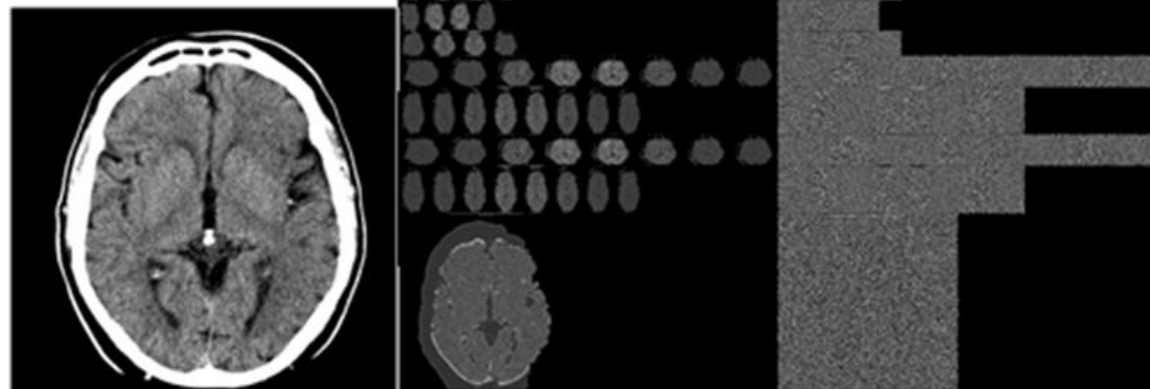


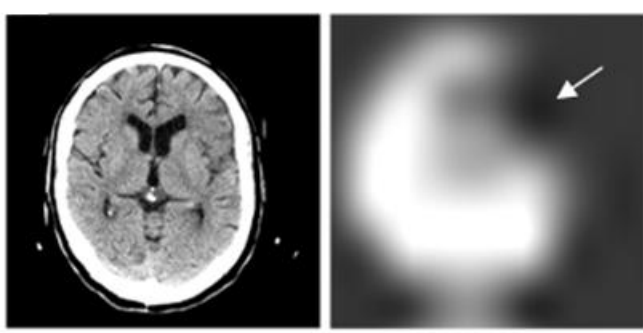
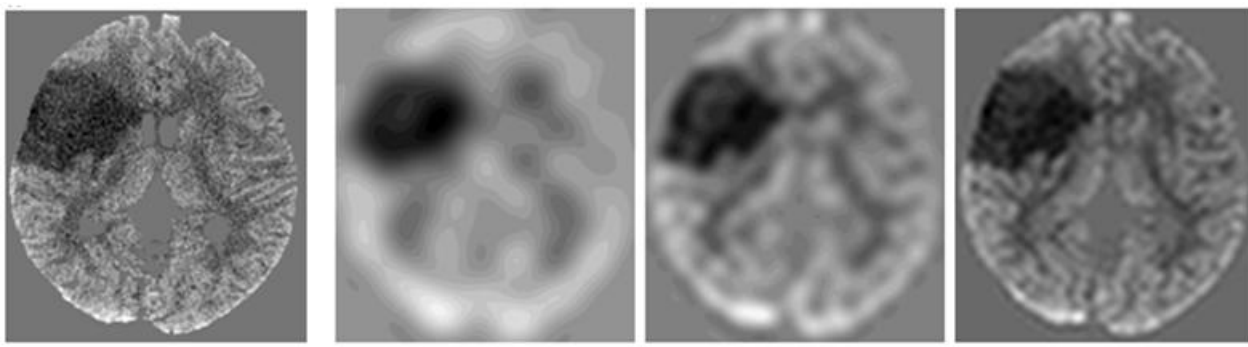
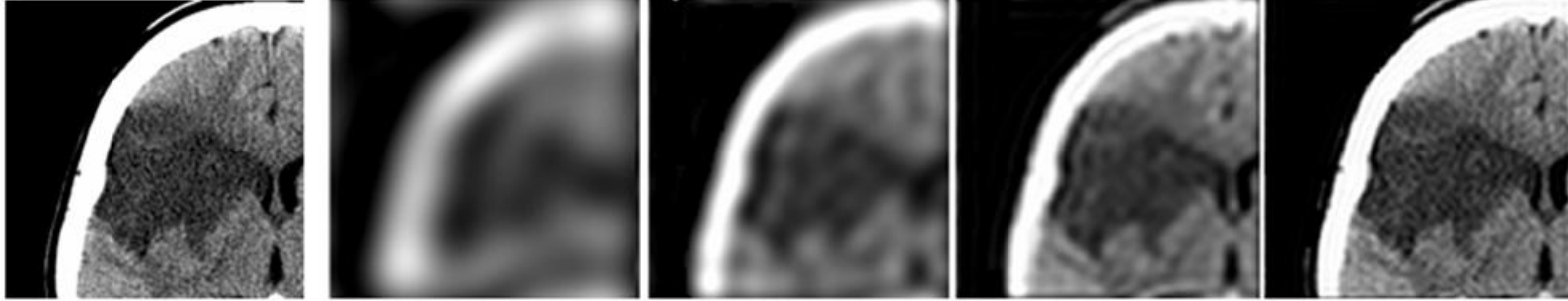
SYNTEZA



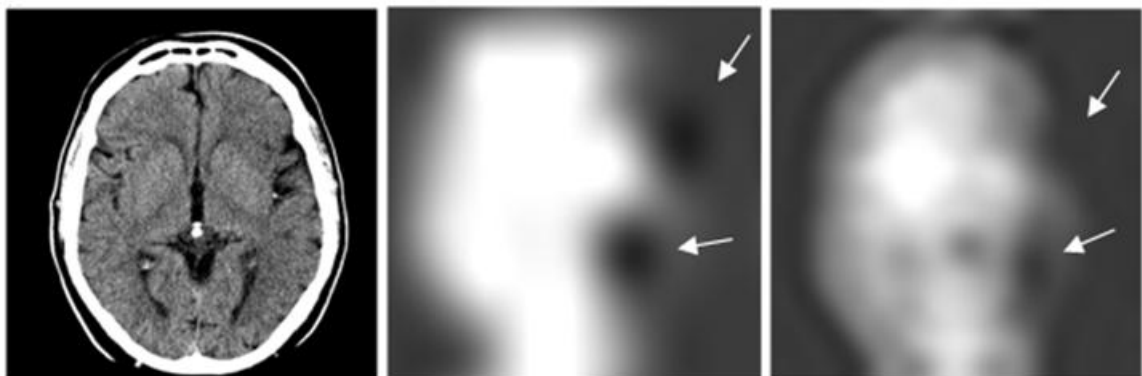
Curvelety II

Dziedzina krzywek

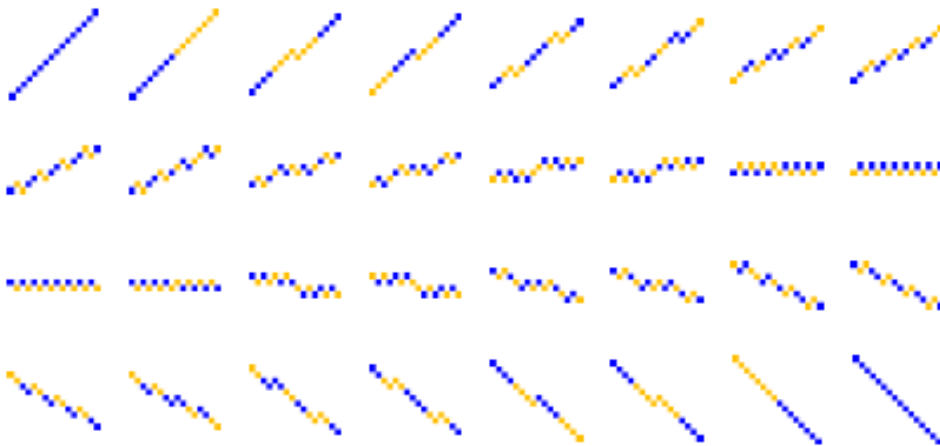
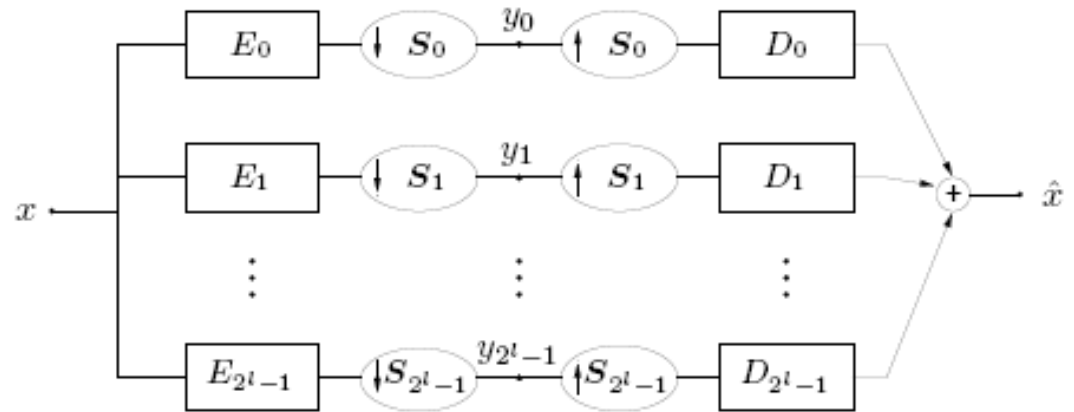
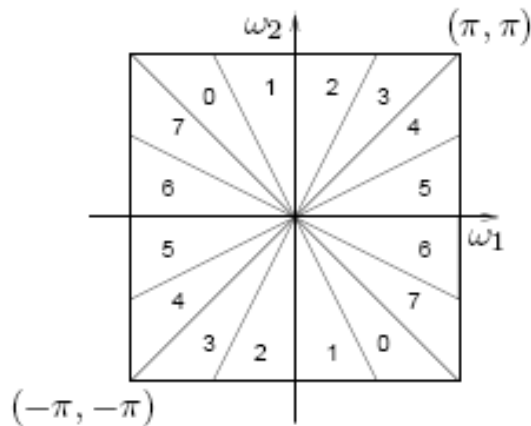




Obrazki krzywkowe

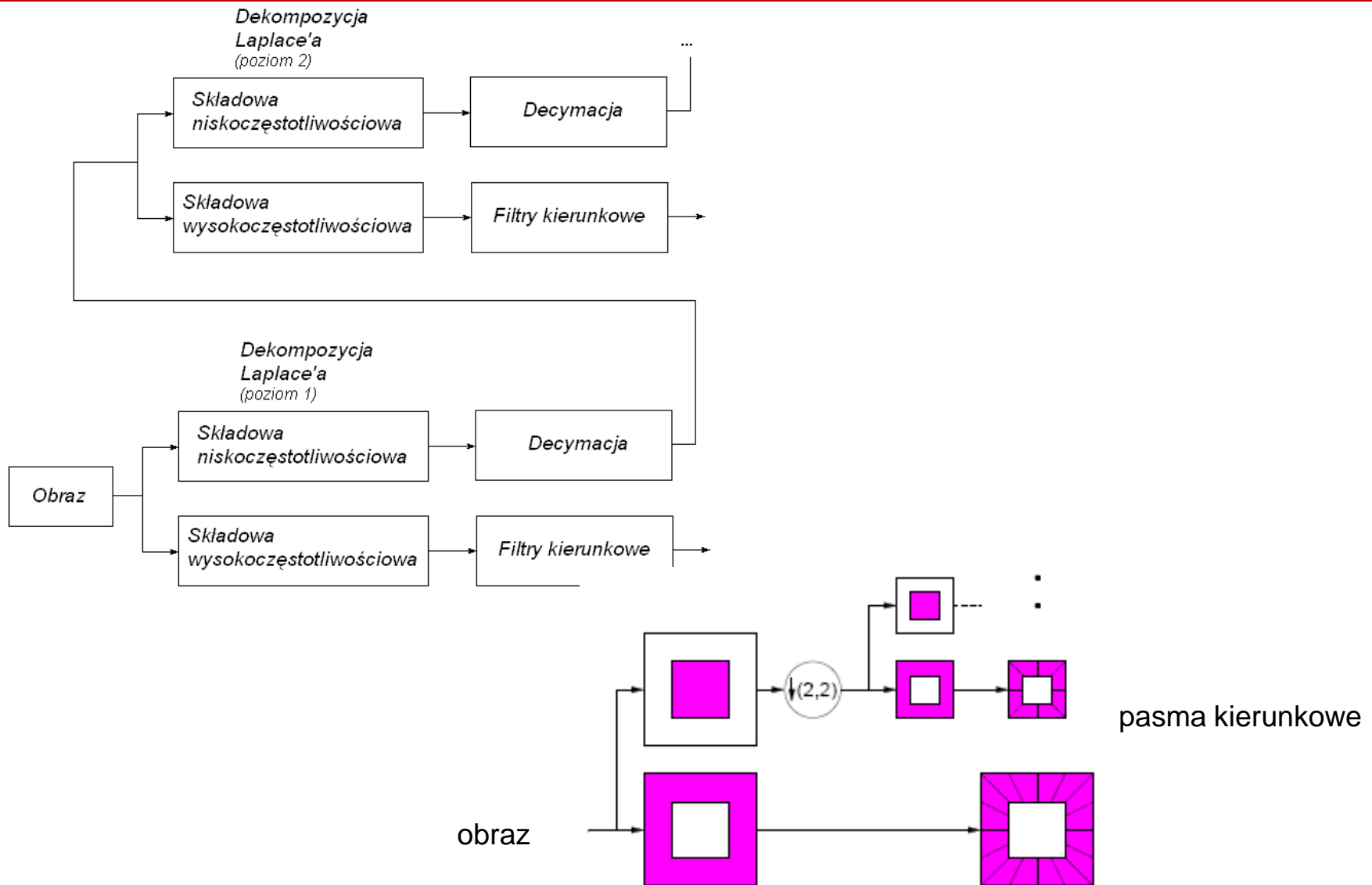


Countourlets: filtry kierunkowe

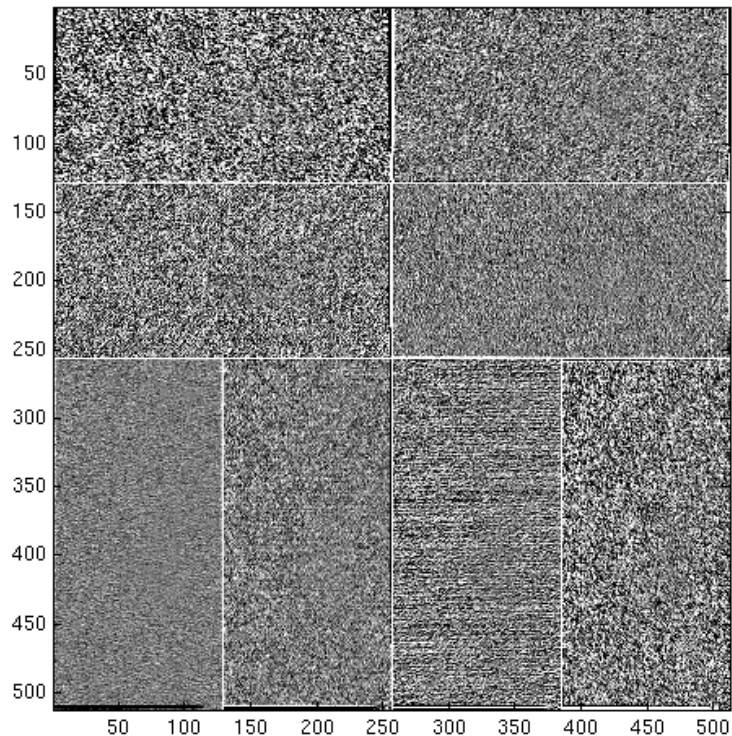


kierunkowe filtry
Haara (niebieski
to 1, żółty to -1)

Contourlets: dekompozycja

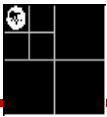
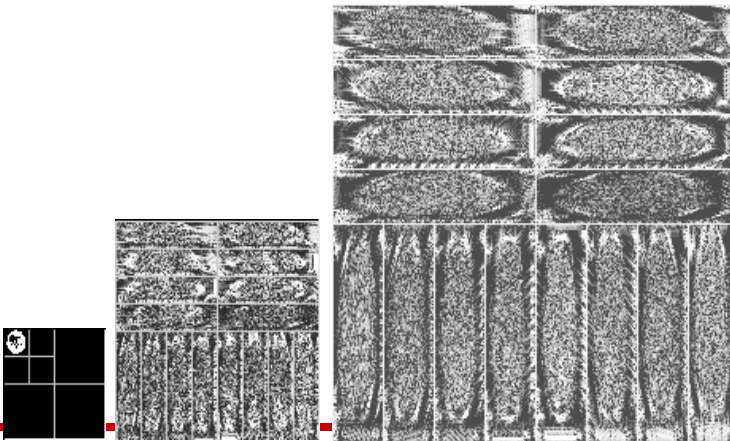
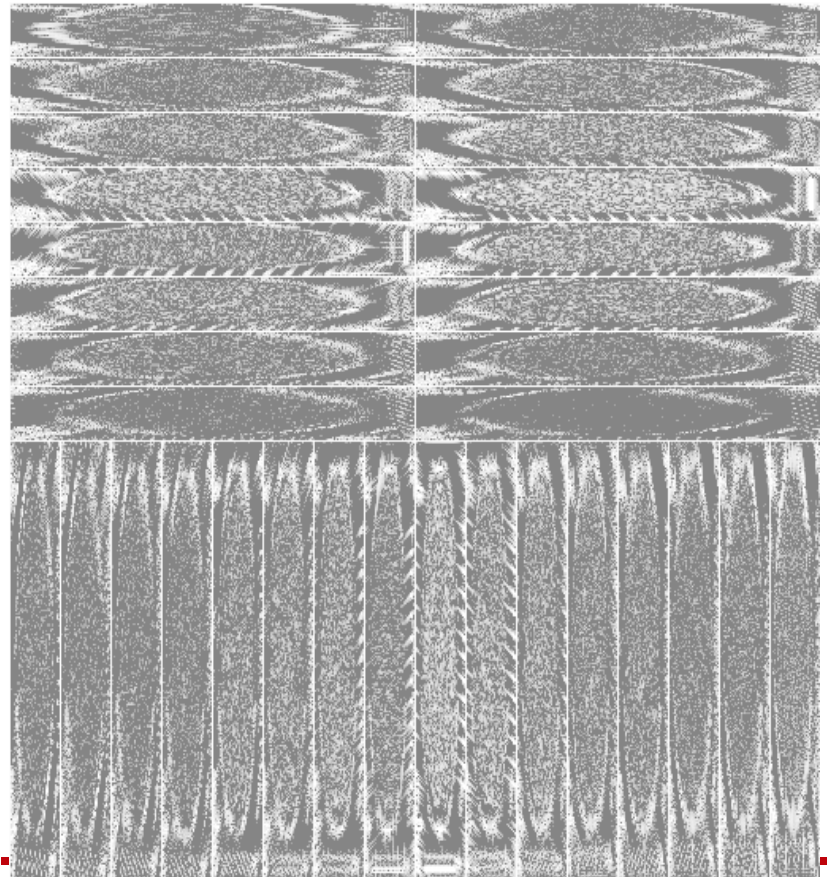


Contourlets: rozkłady współczynników

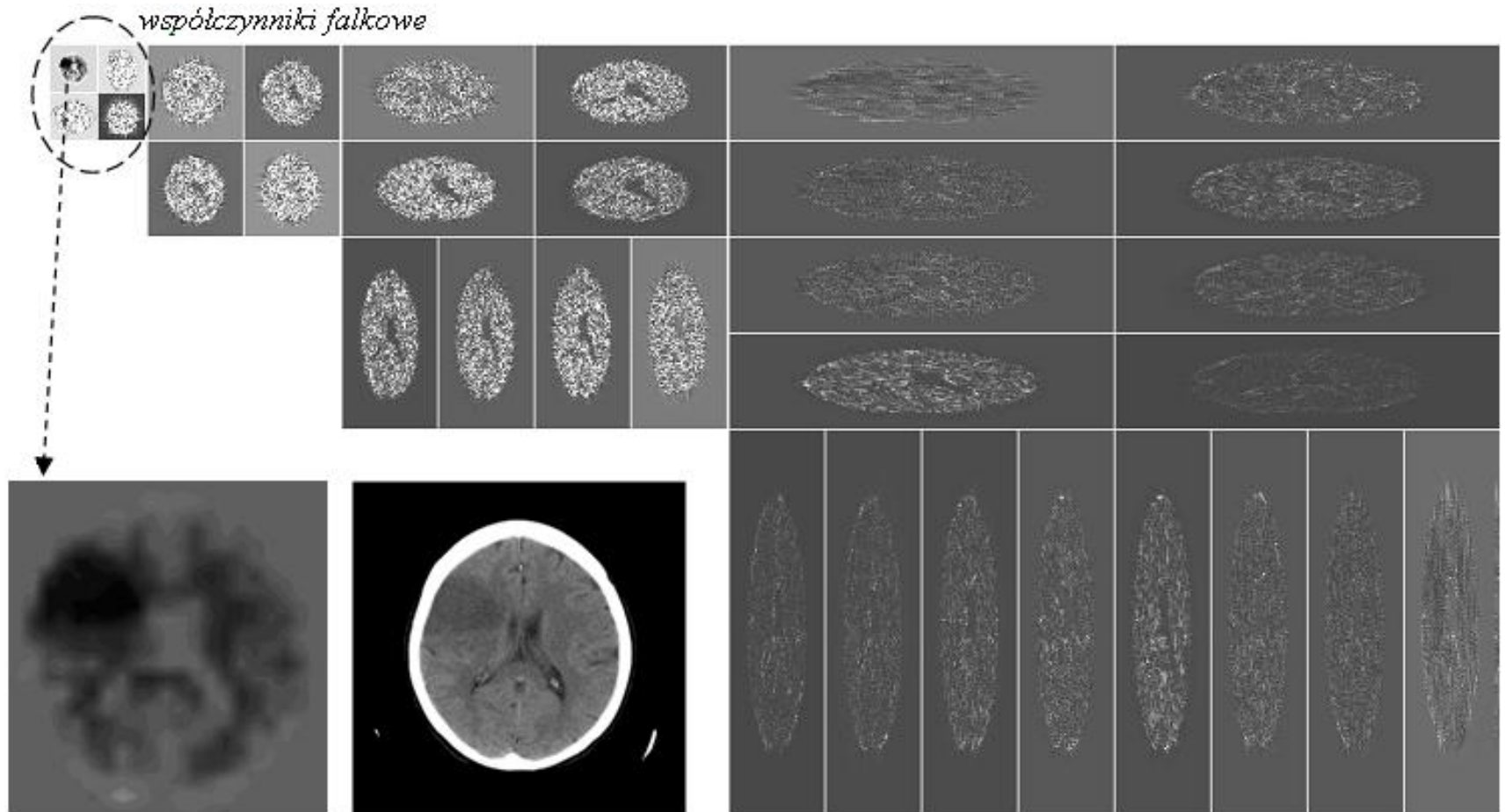


3 poziom banku 8 filtrów kierunkowych

Contourlets: dekompozycja obrazu



Obraz w dziedzinie konturków



Aproksymacje

13,6% współczynników



falkowa

wedgeletowa

curveletowa

DFT